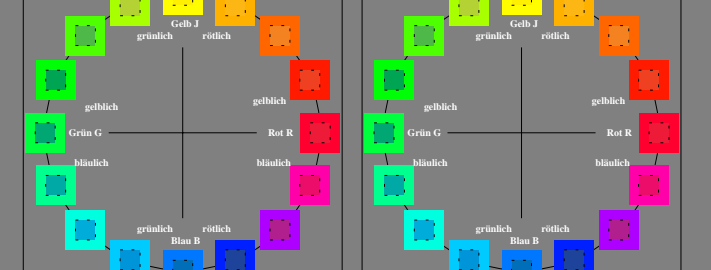


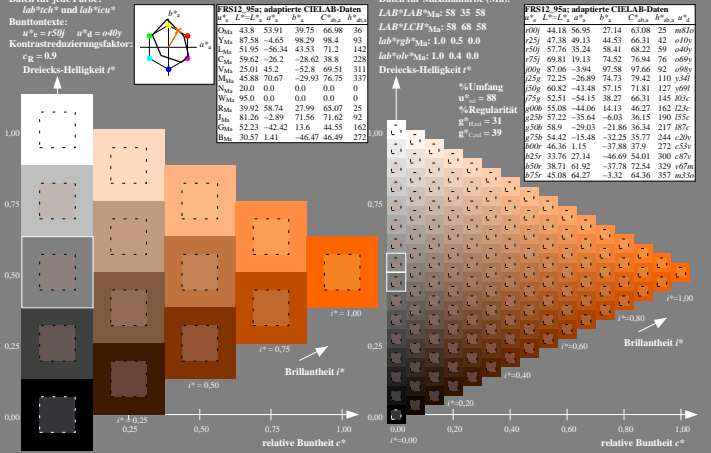
Ein und Ausgabe: Farbmetrisches Drucker-Reflektiv-System FR512_95a
Daten für jede Farbe:
 lab^* und $lab^{*}c^*$
 u^* und Nummer $N_c = 00...15$
Elementar-Bunttonste: $u^* = 16$ Bunttoene $r00, r25j, \dots, b75r$
Kontrastreduzierungsfaktor:
 $c_g = 0.9$
Dreiecks-Helligkeit l^*

FR512_95a: adaptierte CIELAB-Daten		FR512_95a: adaptierte CIELAB-Daten	
L^*	a^*	b^*	c^*
000	44.18	56.95	27.14
025	47.38	59.13	44.53
050	51.76	56.34	58.41
075	57.76	35.24	66.22
100	69.92	19.13	74.52
125	87.06	-3.94	97.58
150	95.00	0.00	101.00
175	52.51	-54.15	38.27
200	55.08	-44.06	14.13
225	52.92	-35.64	-6.03
250	48.76	-26.2	-18.62
275	47.50	-20.03	-21.86
300	44.32	-15.48	-22.35
325	33.76	27.14	-46.69
350	38.71	61.92	-37.78
375	45.08	64.27	-3.32

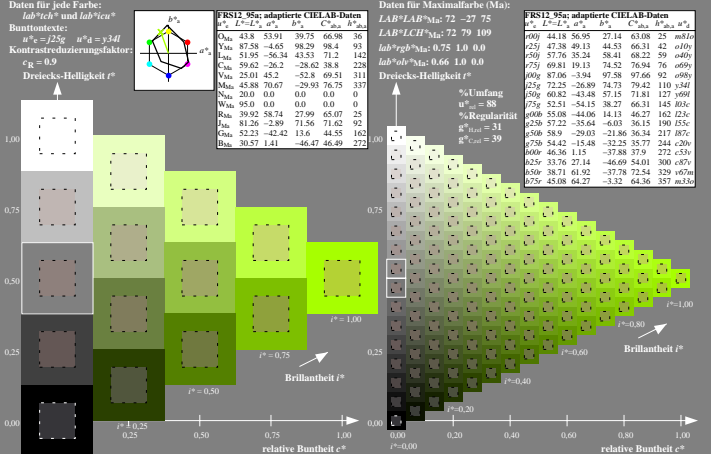
FR512_95a: adaptierte CIELAB-Daten		FR512_95a: adaptierte CIELAB-Daten	
L^*	a^*	b^*	c^*
000	43.8	53.91	39.75
025	47.38	44.65	48.29
050	51.95	-56.34	43.53
075	59.62	-26.2	58.41
100	87.06	-3.94	97.58
125	95.00	0.00	101.00
150	50.00	0.00	0.00
175	52.51	-54.15	38.27
200	55.08	-44.06	14.13
225	52.92	-35.64	-6.03
250	48.76	-26.2	-18.62
275	47.50	-20.03	-21.86
300	44.32	-15.48	-22.35
325	33.76	27.14	-46.69
350	38.71	61.92	-37.78
375	45.08	64.27	-3.32



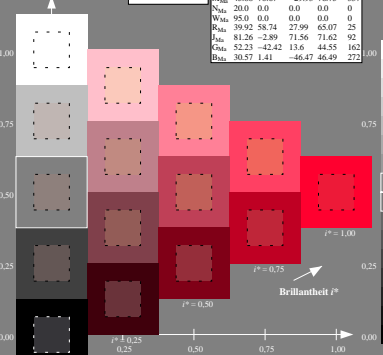
Ein und Ausgabe: Farbmetrisches Drucker-Reflektiv-System FR512_95, $L^* = 20\text{--}95$ für relativen CIELAB-Buntton $h^* = lab^*h^* = h_{360}/360 = 0.164$ $u^* = r50j$



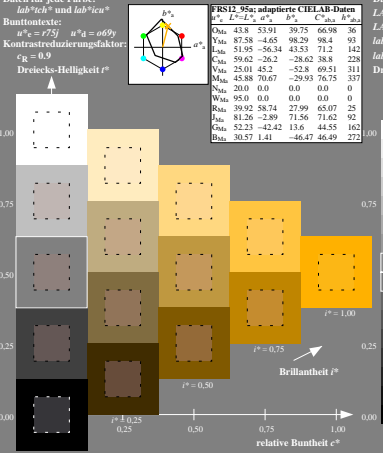
Ein und Ausgabe: Farbmetrisches Drucker-Reflektiv-System FR512_95, $L^* = 20\text{--}95$ für relativen CIELAB-Buntton $h^* = lab^*h^* = h_{360}/360 = 0.305$ $u^* = r25j$



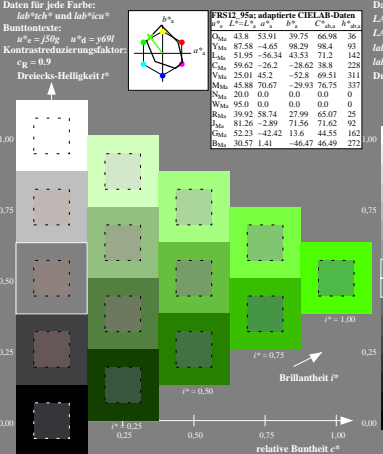
Ein und Ausgabe: Farbmetrisches Drucker-Reflektiv-System FR512_95, $L^* = 20\text{--}95$ für relativen CIELAB-Buntton $h^* = lab^*h^* = h_{360}/360 = 0.071$ $u^* = r00j$



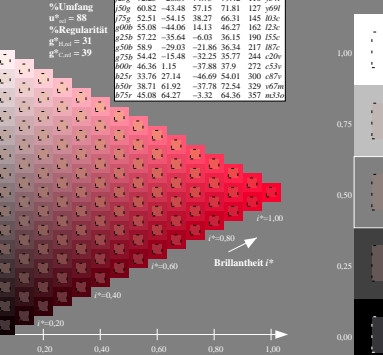
Ein und Ausgabe: Farbmetrisches Drucker-Reflektiv-System FR512_95, $L^* = 20\text{--}95$ für relativen CIELAB-Buntton $h^* = lab^*h^* = h_{360}/360 = 0.21$ $u^* = r75j$



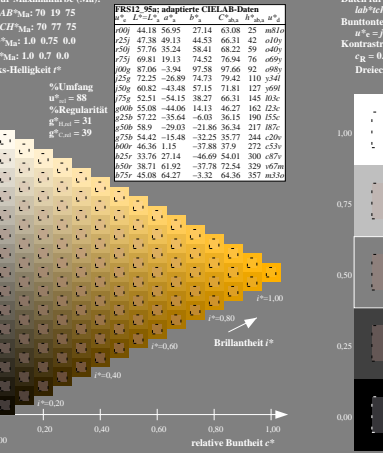
Ein und Ausgabe: Farbmetrisches Drucker-Reflektiv-System FR512_95, $L^* = 20\text{--}95$ für relativen CIELAB-Buntton $h^* = lab^*h^* = h_{360}/360 = 0.354$ $u^* = r50j$



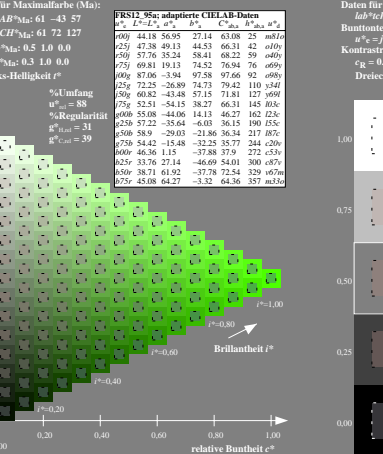
Ein und Ausgabe: Farbmetrisches Drucker-Reflektiv-System FR512_95, $L^* = 20\text{--}95$ für relativen CIELAB-Buntton $h^* = lab^*h^* = h_{360}/360 = 0.117$ $u^* = r25j$



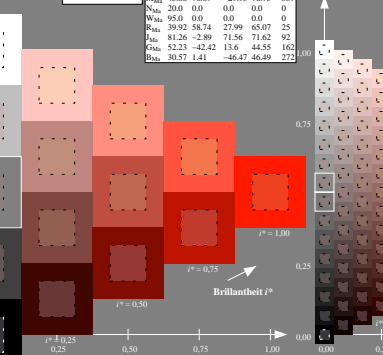
Ein und Ausgabe: Farbmetrisches Drucker-Reflektiv-System FR512_95, $L^* = 20\text{--}95$ für relativen CIELAB-Buntton $h^* = lab^*h^* = h_{360}/360 = 0.256$ $u^* = r00j$



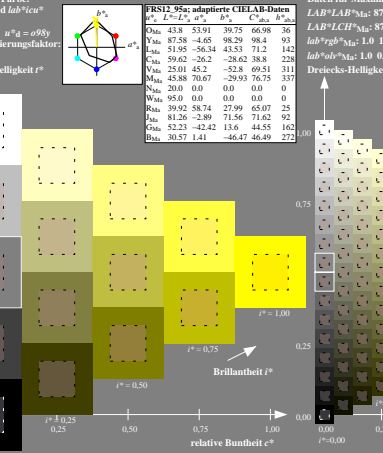
Ein und Ausgabe: Farbmetrisches Drucker-Reflektiv-System FR512_95, $L^* = 20\text{--}95$ für relativen CIELAB-Buntton $h^* = lab^*h^* = h_{360}/360 = 0.402$ $u^* = r75j$



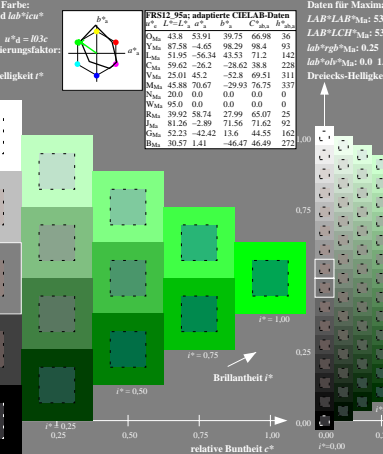
Ein und Ausgabe: Farbmetrisches Drucker-Reflektiv-System FR512_95, $L^* = 20\text{--}95$ für relativen CIELAB-Buntton $h^* = lab^*h^* = h_{360}/360 = 0.071$ $u^* = r50j$



Ein und Ausgabe: Farbmetrisches Drucker-Reflektiv-System FR512_95, $L^* = 20\text{--}95$ für relativen CIELAB-Buntton $h^* = lab^*h^* = h_{360}/360 = 0.256$ $u^* = r00j$



Ein und Ausgabe: Farbmetrisches Drucker-Reflektiv-System FR512_95, $L^* = 20\text{--}95$ für relativen CIELAB-Buntton $h^* = lab^*h^* = h_{360}/360 = 0.354$ $u^* = r50j$



Ein und Ausgabe: Farbmetrisches Drucker-Reflexiv-System FRS12_95a
Daten für jede Farbe:
 $u^*c = 16$ Bunttoner $r09, r25j, \dots, b75r$
Kontrastreduzierungsfaktor:
 $c^*c = 0.9$

FRS12_95a adaptierte CIELAB-Daten
 $L^* a^* b^*$ $C_{100}^* h_{100}^*$ h_{100}^* h_{100}^*

Okt.	43.8	53.91	39.75	66.98	36
Yau.	87.58	-4.65	98.29	98.4	93
Yau.	51.95	-56.34	43.53	71.2	142
Y5j.	59.62	-26.2	-28.62	38.8	228
Yau.	25.01	45.2	-52.8	69.51	311
Mau.	45.88	70.67	-29.93	76.75	337
Nau.	20.0	0.0	0.0	0.0	0
Rau.	39.92	58.74	27.99	65.07	25
Bau.	81.26	-2.89	71.56	71.62	92
Gau.	52.23	-42.42	13.6	44.55	162
Bau.	30.57	1.41	-46.47	46.49	272

FRS12_95a adaptierte CIELAB-Daten
 $L^* a^* b^*$ $C_{100}^* h_{100}^*$ h_{100}^* h_{100}^*

Okt.	43.8	53.91	39.75	66.98	36
Yau.	87.58	-4.65	98.29	98.4	93
Yau.	51.95	-56.34	43.53	71.2	142
Y5j.	59.62	-26.2	-28.62	38.8	228
Yau.	25.01	45.2	-52.8	69.51	311
Mau.	45.88	70.67	-29.93	76.75	337
Nau.	20.0	0.0	0.0	0.0	0
Rau.	39.92	58.74	27.99	65.07	25
Bau.	81.26	-2.89	71.56	71.62	92
Gau.	52.23	-42.42	13.6	44.55	162
Bau.	30.57	1.41	-46.47	46.49	272

Ein und Ausgabe: Farbmetrisches Drucker-Reflexiv-System FRS12_95L_1.0-20_95 für relative CIELAB-Buntton $h^* = lab^*h^* = h_{360}/360 = 0.071$ $u^*c = r09j$
Daten für jede Farbe:
 lab^*c^* und $lab^*c^*c^*$
Bunttonexte:
 $u^*c = r09j$ $u^*d = m87o$
Kontrastreduzierungsfaktor:
 $c^*c = 0.9$
Dreiecks-Helligkeit l^*

FRS12_95a adaptierte CIELAB-Daten
 $L^* a^* b^*$ $C_{100}^* h_{100}^*$ h_{100}^* h_{100}^*

Okt.	43.8	53.91	39.75	66.98	36
Yau.	87.58	-4.65	98.29	98.4	93
Yau.	51.95	-56.34	43.53	71.2	142
Y5j.	59.62	-26.2	-28.62	38.8	228
Yau.	25.01	45.2	-52.8	69.51	311
Mau.	45.88	70.67	-29.93	76.75	337
Nau.	20.0	0.0	0.0	0.0	0
Rau.	39.92	58.74	27.99	65.07	25
Bau.	81.26	-2.89	71.56	71.62	92
Gau.	52.23	-42.42	13.6	44.55	162
Bau.	30.57	1.41	-46.47	46.49	272

FRS12_95a adaptierte CIELAB-Daten
 $L^* a^* b^*$ $C_{100}^* h_{100}^*$ h_{100}^* h_{100}^*

Okt.	43.8	53.91	39.75	66.98	36
Yau.	87.58	-4.65	98.29	98.4	93
Yau.	51.95	-56.34	43.53	71.2	142
Y5j.	59.62	-26.2	-28.62	38.8	228
Yau.	25.01	45.2	-52.8	69.51	311
Mau.	45.88	70.67	-29.93	76.75	337
Nau.	20.0	0.0	0.0	0.0	0
Rau.	39.92	58.74	27.99	65.07	25
Bau.	81.26	-2.89	71.56	71.62	92
Gau.	52.23	-42.42	13.6	44.55	162
Bau.	30.57	1.41	-46.47	46.49	272

FRS12_95a adaptierte CIELAB-Daten
 $L^* a^* b^*$ $C_{100}^* h_{100}^*$ h_{100}^* h_{100}^*

Okt.	43.8	53.91	39.75	66.98	36
Yau.	87.58	-4.65	98.29	98.4	93
Yau.	51.95	-56.34	43.53	71.2	142
Y5j.	59.62	-26.2	-28.62	38.8	228
Yau.	25.01	45.2	-52.8	69.51	311
Mau.	45.88	70.67	-29.93	76.75	337
Nau.	20.0	0.0	0.0	0.0	0
Rau.	39.92	58.74	27.99	65.07	25
Bau.	81.26	-2.89	71.56	71.62	92
Gau.	52.23	-42.42	13.6	44.55	162
Bau.	30.57	1.41	-46.47	46.49	272

Ein und Ausgabe: Farbmetrisches Drucker-Reflexiv-System FRS12_95L_1.0-20_95 für relative CIELAB-Buntton $h^* = lab^*h^* = h_{360}/360 = 0.117$ $u^*c = r25j$
Daten für jede Farbe:
 lab^*c^* und $lab^*c^*c^*$
Bunttonexte:
 $u^*c = r25j$ $u^*d = o10y$
Kontrastreduzierungsfaktor:
 $c^*c = 0.9$
Dreiecks-Helligkeit l^*

FRS12_95a adaptierte CIELAB-Daten
 $L^* a^* b^*$ $C_{100}^* h_{100}^*$ h_{100}^* h_{100}^*

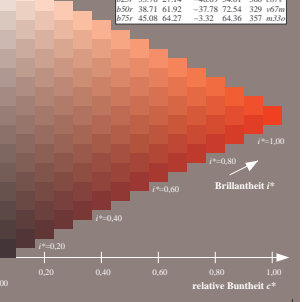
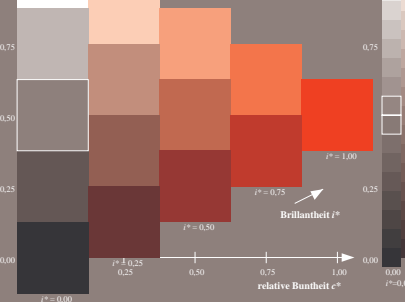
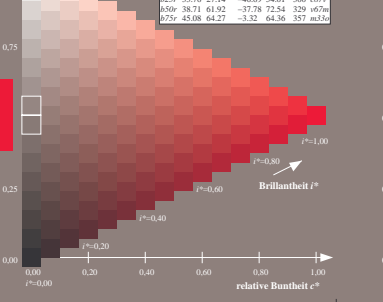
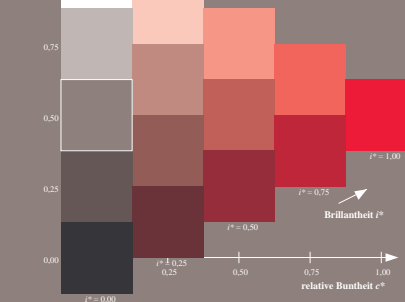
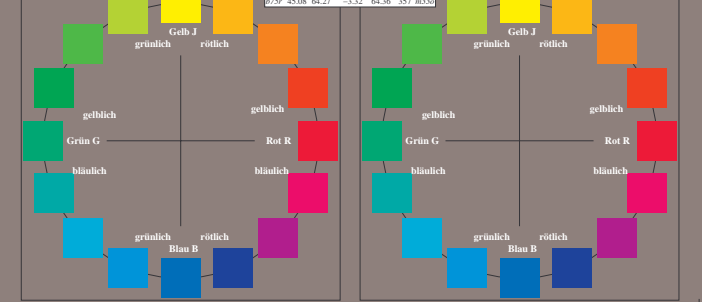
Okt.	43.8	53.91	39.75	66.98	36
Yau.	87.58	-4.65	98.29	98.4	93
Yau.	51.95	-56.34	43.53	71.2	142
Y5j.	59.62	-26.2	-28.62	38.8	228
Yau.	25.01	45.2	-52.8	69.51	311
Mau.	45.88	70.67	-29.93	76.75	337
Nau.	20.0	0.0	0.0	0.0	0
Rau.	39.92	58.74	27.99	65.07	25
Bau.	81.26	-2.89	71.56	71.62	92
Gau.	52.23	-42.42	13.6	44.55	162
Bau.	30.57	1.41	-46.47	46.49	272

FRS12_95a adaptierte CIELAB-Daten
 $L^* a^* b^*$ $C_{100}^* h_{100}^*$ h_{100}^* h_{100}^*

Okt.	43.8	53.91	39.75	66.98	36
Yau.	87.58	-4.65	98.29	98.4	93
Yau.	51.95	-56.34	43.53	71.2	142
Y5j.	59.62	-26.2	-28.62	38.8	228
Yau.	25.01	45.2	-52.8	69.51	311
Mau.	45.88	70.67	-29.93	76.75	337
Nau.	20.0	0.0	0.0	0.0	0
Rau.	39.92	58.74	27.99	65.07	25
Bau.	81.26	-2.89	71.56	71.62	92
Gau.	52.23	-42.42	13.6	44.55	162
Bau.	30.57	1.41	-46.47	46.49	272

FRS12_95a adaptierte CIELAB-Daten
 $L^* a^* b^*$ $C_{100}^* h_{100}^*$ h_{100}^* h_{100}^*

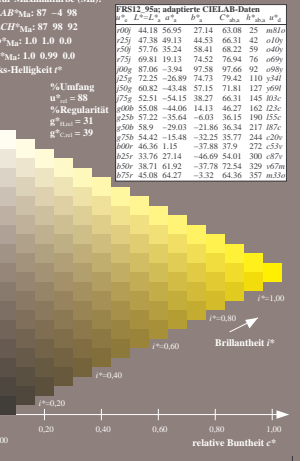
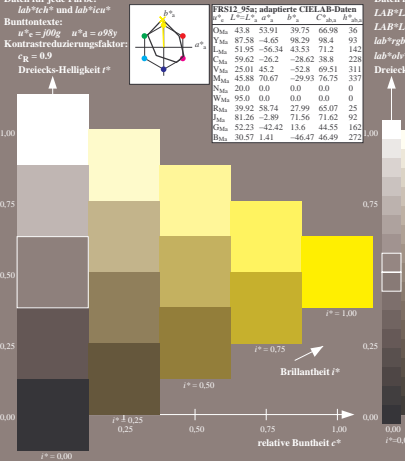
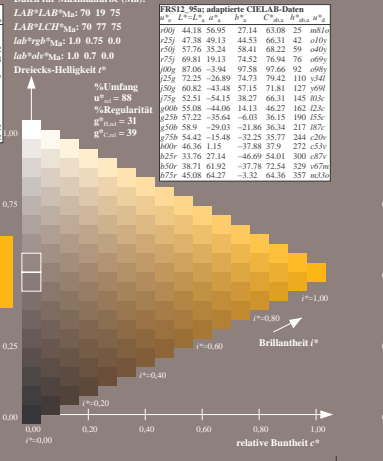
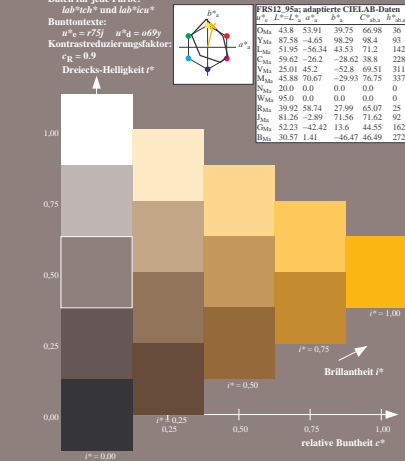
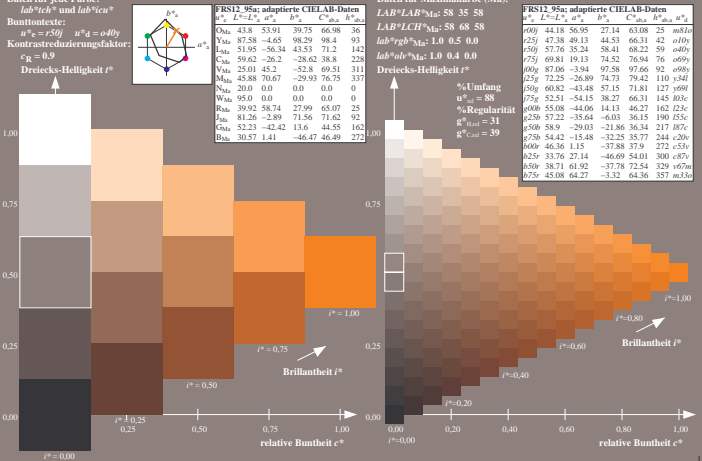
Okt.	43.8	53.91	39.75	66.98	36
Yau.	87.58	-4.65	98.29	98.4	93
Yau.	51.95	-56.34	43.53	71.2	142
Y5j.	59.62	-26.2	-28.62	38.8	228
Yau.	25.01	45.2	-52.8	69.51	311
Mau.	45.88	70.67	-29.93	76.75	337
Nau.	20.0	0.0	0.0	0.0	0
Rau.	39.92	58.74	27.99	65.07	25
Bau.	81.26	-2.89	71.56	71.62	92
Gau.	52.23	-42.42	13.6	44.55	162
Bau.	30.57	1.41	-46.47	46.49	272



Ein und Ausgabe: Farbmetrisches Drucker-Reflexiv-System FRS12_95L_1.0-20_95 für relative CIELAB-Buntton $h^* = lab^*h^* = h_{360}/360 = 0.164$ $u^*c = r50j$
Daten für jede Farbe:
 lab^*c^* und $lab^*c^*c^*$
Bunttonexte:
 $u^*c = r50j$ $u^*d = o40y$
Kontrastreduzierungsfaktor:
 $c^*c = 0.9$
Dreiecks-Helligkeit l^*

Ein und Ausgabe: Farbmetrisches Drucker-Reflexiv-System FRS12_95L_1.0-20_95 für relative CIELAB-Buntton $h^* = lab^*h^* = h_{360}/360 = 0.21$ $u^*c = r75j$
Daten für jede Farbe:
 lab^*c^* und $lab^*c^*c^*$
Bunttonexte:
 $u^*c = r75j$ $u^*d = o69y$
Kontrastreduzierungsfaktor:
 $c^*c = 0.9$
Dreiecks-Helligkeit l^*

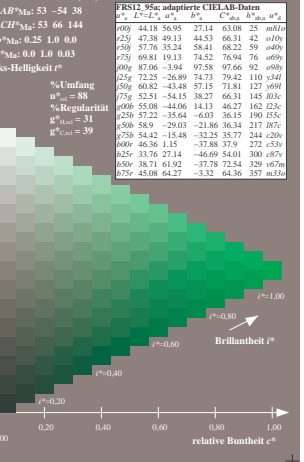
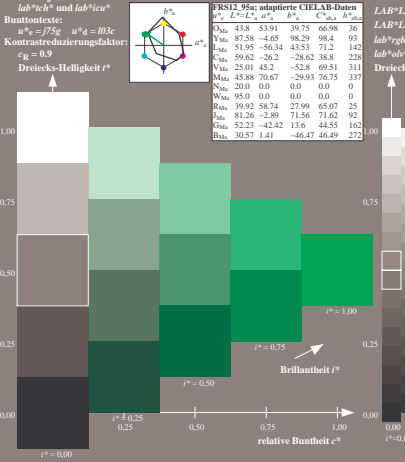
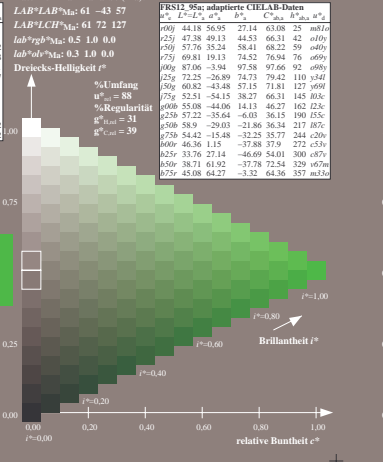
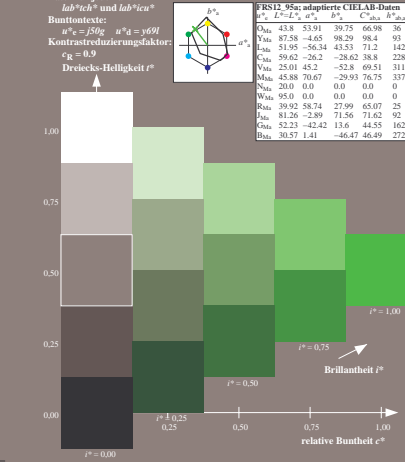
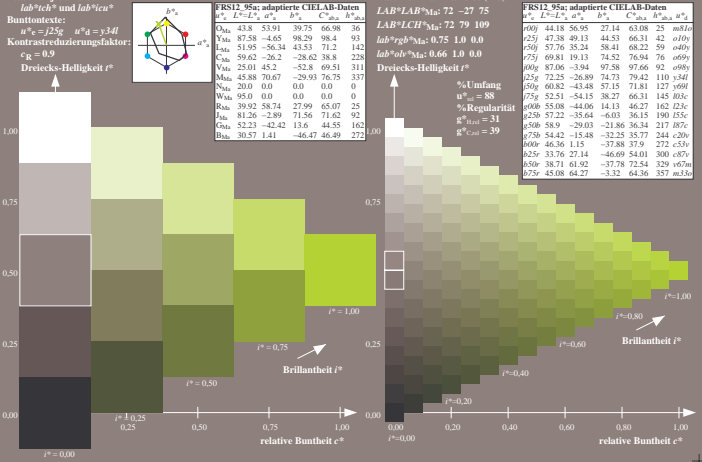
Ein und Ausgabe: Farbmetrisches Drucker-Reflexiv-System FRS12_95L_1.0-20_95 für relative CIELAB-Buntton $h^* = lab^*h^* = h_{360}/360 = 0.256$ $u^*c = j00g$
Daten für jede Farbe:
 lab^*c^* und $lab^*c^*c^*$
Bunttonexte:
 $u^*c = j00g$ $u^*d = o99y$
Kontrastreduzierungsfaktor:
 $c^*c = 0.9$
Dreiecks-Helligkeit l^*



Ein und Ausgabe: Farbmetrisches Drucker-Reflexiv-System FRS12_95L_1.0-20_95 für relative CIELAB-Buntton $h^* = lab^*h^* = h_{360}/360 = 0.305$ $u^*c = j25g$
Daten für jede Farbe:
 lab^*c^* und $lab^*c^*c^*$
Bunttonexte:
 $u^*c = j25g$ $u^*d = y30f$
Kontrastreduzierungsfaktor:
 $c^*c = 0.9$
Dreiecks-Helligkeit l^*

Ein und Ausgabe: Farbmetrisches Drucker-Reflexiv-System FRS12_95L_1.0-20_95 für relative CIELAB-Buntton $h^* = lab^*h^* = h_{360}/360 = 0.354$ $u^*c = j50g$
Daten für jede Farbe:
 lab^*c^* und $lab^*c^*c^*$
Bunttonexte:
 $u^*c = j50g$ $u^*d = o103c$
Kontrastreduzierungsfaktor:
 $c^*c = 0.9$
Dreiecks-Helligkeit l^*

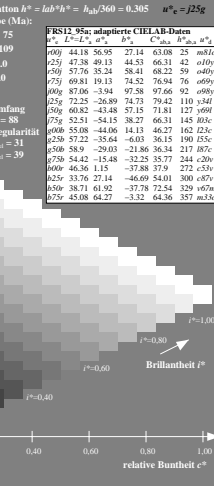
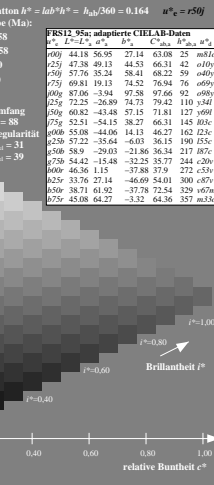
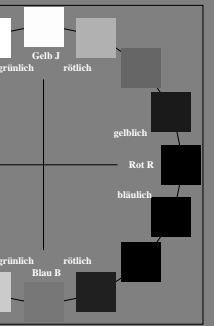
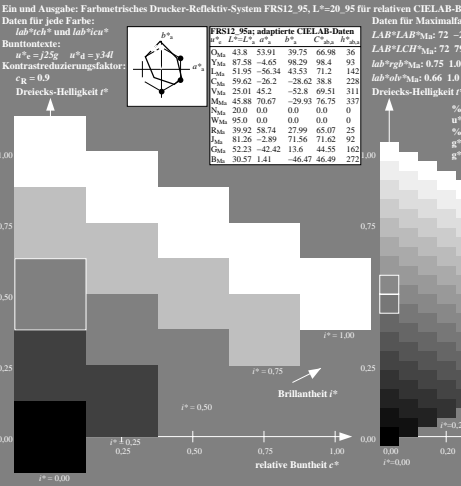
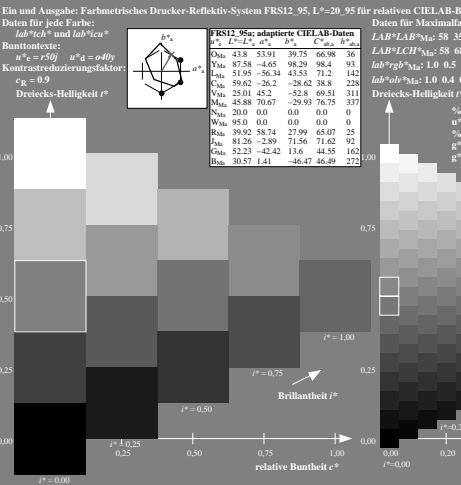
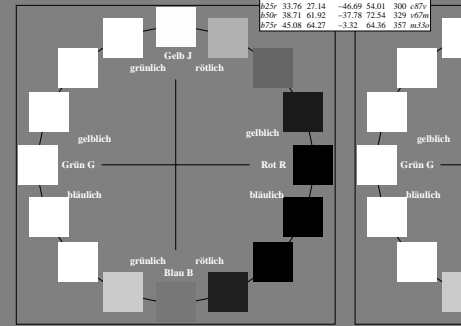
Ein und Ausgabe: Farbmetrisches Drucker-Reflexiv-System FRS12_95L_1.0-20_95 für relative CIELAB-Buntton $h^* = lab^*h^* = h_{360}/360 = 0.402$ $u^*c = j75g$
Daten für jede Farbe:
 lab^*c^* und $lab^*c^*c^*$
Bunttonexte:
 $u^*c = j75g$ $u^*d = o103c$
Kontrastreduzierungsfaktor:
 $c^*c = 0.9$
Dreiecks-Helligkeit l^*



Ein und Ausgabe: Farbmetrisches Drucker-Reflexiv-System FRS12_95a
 Daten für jede Farbe:
 $u^*_e =$ und lab^*v_{CM}
 Elementar-Buntton: $u^*_e = 16$ Bunttonen r00f, r25f, ..., b75f
 Kontrastreduzierungsfaktor:
 $c_{CR} = 0.9$

FRS12_95a: adaptierte CIELAB-Daten				
L^*	a^*	b^*	C_{90}	h^*
009	44.18	56.95	27.14	63.08
25f	47.38	49.13	44.53	66.31
50f	57.76	35.24	58.41	68.22
75f	69.81	19.13	74.52	76.94
100	87.06	-3.84	97.58	97.66
125f	72.25	-26.89	74.73	79.42
150f	60.82	-43.48	57.15	71.81
175f	52.51	-54.15	38.27	66.31
200f	55.08	-44.06	14.13	46.27
225f	52.82	-35.64	-6.03	36.15
250f	50.89	-29.03	-21.86	36.34
275f	47.50	-44.2	-42.13	37.79
300f	40.46	-36.15	-37.88	37.79
325f	33.76	27.14	-46.69	54.01
350f	38.71	61.92	-37.78	72.54
375f	45.08	64.27	-3.32	64.36

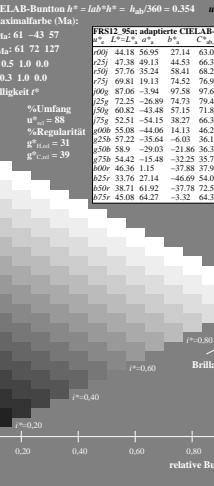
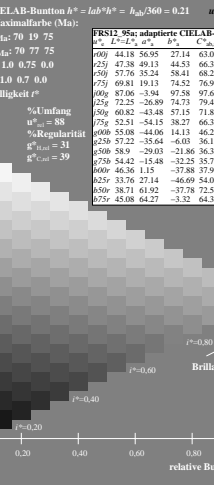
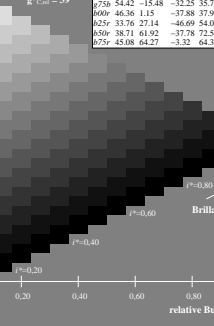
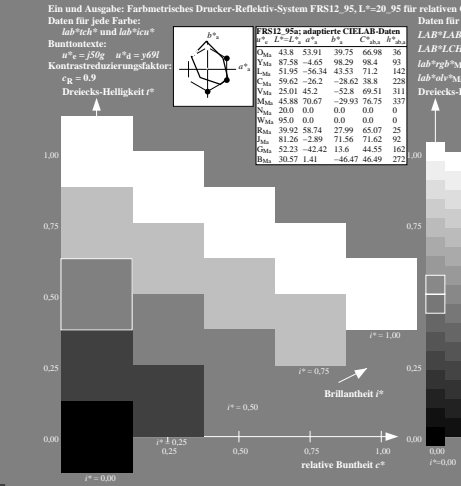
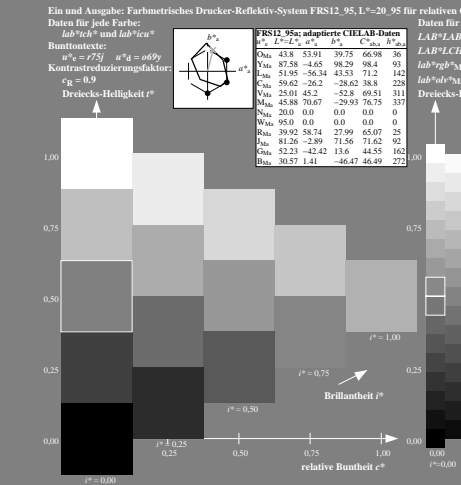
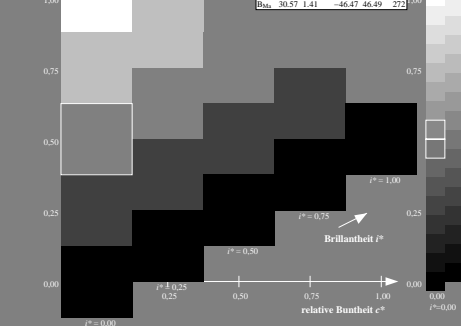
FRS12_95a: adaptierte CIELAB-Daten				
L^*	L^*	a^*	b^*	C_{90}
009	43.8	53.91	39.75	66.98
25f	47.38	-4.65	98.29	98.4
50f	51.95	-56.34	43.53	71.2
75f	59.62	-26.2	-28.62	38.8
100	52.01	45.2	-52.8	69.51
125f	45.88	70.67	-29.93	76.75
150f	50.0	0.0	0.0	0.0
175f	39.92	58.74	27.99	65.07
200f	52.23	-42.42	13.6	44.55
225f	30.57	1.41	-46.47	46.49



Ein und Ausgabe: Farbmetrisches Drucker-Reflexiv-System FRS12_95_L-20_95 für relativen CIELAB-Buntton $h^* = lab^*h^* = h_{ab}^*/360 = 0.071$ $u^*_e = r00f$
 Daten für jede Farbe:
 lab^*v_{CM} und lab^*v_{CM}
 Bunttonstexte:
 $u^*_e = r00f$ $u^*_d = m8f0$
 Kontrastreduzierungsfaktor:
 $c_{CR} = 0.9$

FRS12_95a: adaptierte CIELAB-Daten				
L^*	L^*	a^*	b^*	C_{90}
009	43.8	53.91	39.75	66.98
25f	47.38	-4.65	98.29	98.4
50f	51.95	-56.34	43.53	71.2
75f	59.62	-26.2	-28.62	38.8
100	52.01	45.2	-52.8	69.51
125f	45.88	70.67	-29.93	76.75
150f	50.0	0.0	0.0	0.0
175f	39.92	58.74	27.99	65.07
200f	52.23	-42.42	13.6	44.55
225f	30.57	1.41	-46.47	46.49

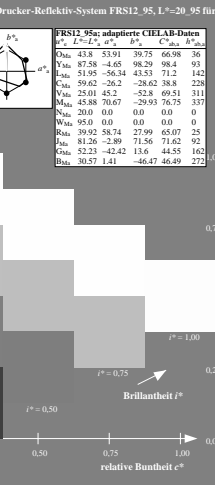
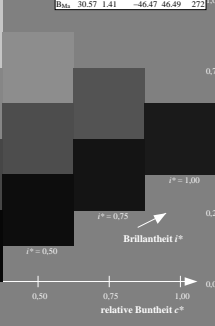
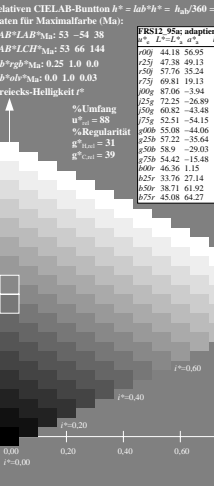
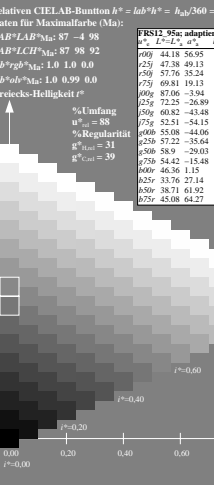
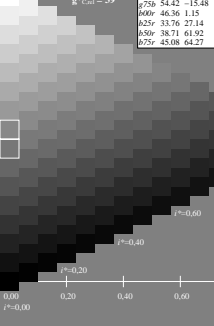
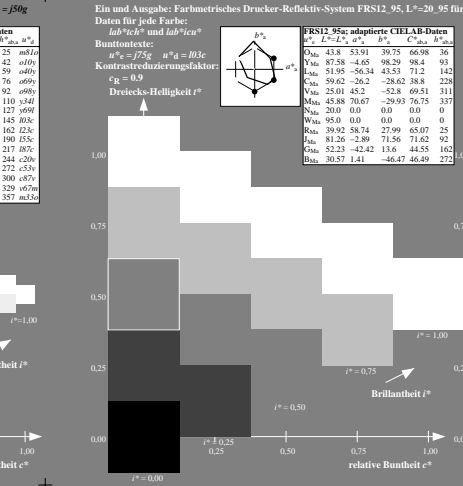
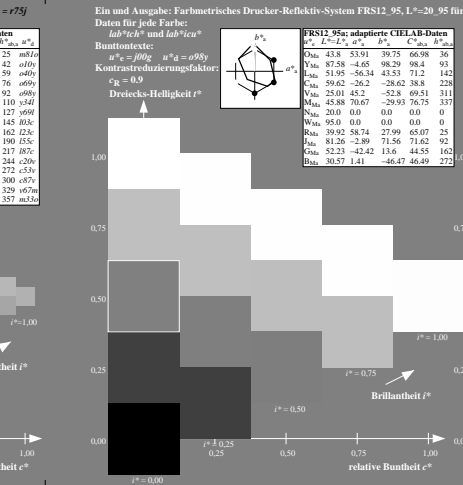
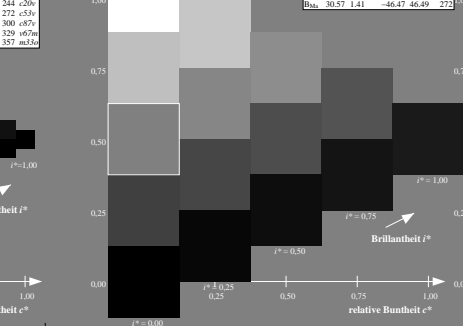
FRS12_95a: adaptierte CIELAB-Daten				
L^*	L^*	a^*	b^*	C_{90}
009	44.18	56.95	27.14	63.08
25f	47.38	49.13	44.53	66.31
50f	57.76	35.24	58.41	68.22
75f	69.81	19.13	74.52	76.94
100	87.06	-3.84	97.58	97.66
125f	72.25	-26.89	74.73	79.42
150f	60.82	-43.48	57.15	71.81
175f	52.51	-54.15	38.27	66.31
200f	55.08	-44.06	14.13	46.27
225f	52.82	-35.64	-6.03	36.15
250f	50.89	-29.03	-21.86	36.34
275f	47.50	-44.2	-42.13	37.79
300f	40.46	-36.15	-37.88	37.79
325f	33.76	27.14	-46.69	54.01
350f	38.71	61.92	-37.78	72.54
375f	45.08	64.27	-3.32	64.36



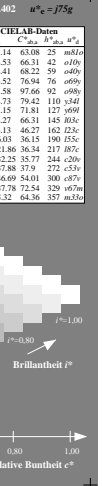
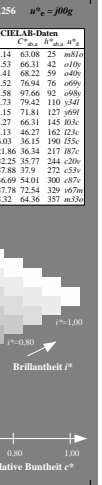
Ein und Ausgabe: Farbmetrisches Drucker-Reflexiv-System FRS12_95_L-20_95 für relativen CIELAB-Buntton $h^* = lab^*h^* = h_{ab}^*/360 = 0.117$ $u^*_e = r25f$
 Daten für jede Farbe:
 lab^*v_{CM} und lab^*v_{CM}
 Bunttonstexte:
 $u^*_e = r25f$ $u^*_d = o10f0$
 Kontrastreduzierungsfaktor:
 $c_{CR} = 0.9$

FRS12_95a: adaptierte CIELAB-Daten				
L^*	L^*	a^*	b^*	C_{90}
009	43.8	53.91	39.75	66.98
25f	47.38	-4.65	98.29	98.4
50f	51.95	-56.34	43.53	71.2
75f	59.62	-26.2	-28.62	38.8
100	52.01	45.2	-52.8	69.51
125f	45.88	70.67	-29.93	76.75
150f	50.0	0.0	0.0	0.0
175f	39.92	58.74	27.99	65.07
200f	52.23	-42.42	13.6	44.55
225f	30.57	1.41	-46.47	46.49

FRS12_95a: adaptierte CIELAB-Daten				
L^*	L^*	a^*	b^*	C_{90}
009	44.18	56.95	27.14	63.08
25f	47.38	49.13	44.53	66.31
50f	57.76	35.24	58.41	68.22
75f	69.81	19.13	74.52	76.94
100	87.06	-3.84	97.58	97.66
125f	72.25	-26.89	74.73	79.42
150f	60.82	-43.48	57.15	71.81
175f	52.51	-54.15	38.27	66.31
200f	55.08	-44.06	14.13	46.27
225f	52.82	-35.64	-6.03	36.15
250f	50.89	-29.03	-21.86	36.34
275f	47.50	-44.2	-42.13	37.79
300f	40.46	-36.15	-37.88	37.79
325f	33.76	27.14	-46.69	54.01
350f	38.71	61.92	-37.78	72.54
375f	45.08	64.27	-3.32	64.36



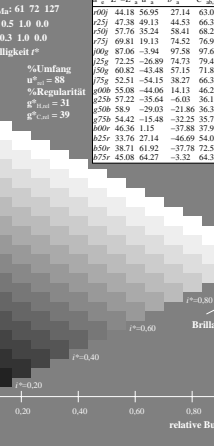
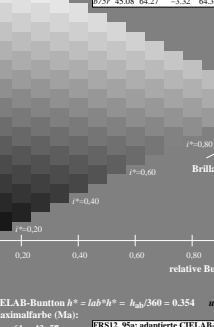
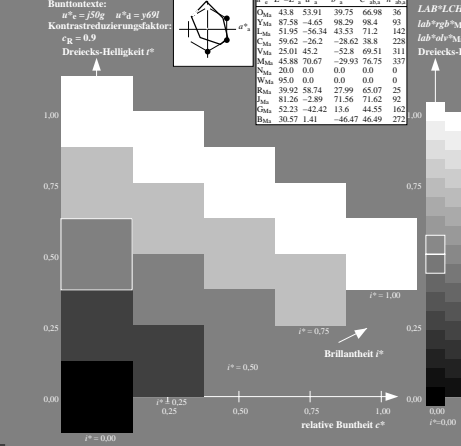
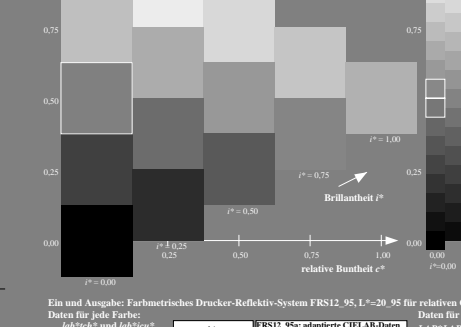
Ein und Ausgabe: Farbmetrisches Drucker-Reflexiv-System FRS12_95_L-20_95 für relativen CIELAB-Buntton $h^* = lab^*h^* = h_{ab}^*/360 = 0.164$ $u^*_e = r50f$
 Daten für jede Farbe:
 lab^*v_{CM} und lab^*v_{CM}
 Bunttonstexte:
 $u^*_e = r50f$ $u^*_d = o40f0$
 Kontrastreduzierungsfaktor:
 $c_{CR} = 0.9$



Ein und Ausgabe: Farbmetrisches Drucker-Reflexiv-System FRS12_95_L-20_95 für relativen CIELAB-Buntton $h^* = lab^*h^* = h_{ab}^*/360 = 0.21$ $u^*_e = r75f$
 Daten für jede Farbe:
 lab^*v_{CM} und lab^*v_{CM}
 Bunttonstexte:
 $u^*_e = r75f$ $u^*_d = o60f0$
 Kontrastreduzierungsfaktor:
 $c_{CR} = 0.9$

FRS12_95a: adaptierte CIELAB-Daten				
L^*	L^*	a^*	b^*	C_{90}
009	43.8	53.91	39.75	66.98
25f	47.38	-4.65	98.29	98.4
50f	51.95	-56.34	43.53	71.2
75f	59.62	-26.2	-28.62	38.8
100	52.01	45.2	-52.8	69.51
125f	45.88	70.67	-29.93	76.75
150f	50.0	0.0	0.0	0.0
175f	39.92	58.74	27.99	65.07
200f	52.23	-42.42	13.6	44.55
225f	30.57	1.41	-46.47	46.49

FRS12_95a: adaptierte CIELAB-Daten				
L^*	L^*	a^*	b^*	C_{90}
009	44.18	56.95	27.14	63.08
25f	47.38	49.13	44.53	66.31
50f	57.76	35.24	58.41	68.22
75f	69.81	19.13	74.52	76.94
100	87.06	-3.84	97.58	97.66
125f	72.25	-26.89	74.73	79.42
150f	60.82	-43.48	57.15	71.81
175f	52.51	-54.15	38.27	66.31
200f	55.08	-44.06	14.13	46.27
225f	52.82	-35.64	-6.03	36.15
250f	50.89	-29.03	-21.86	36.34
275f	47.50	-44.2	-42.13	37.79
300f	40.46	-36.15	-37.88	37.79
325f	33.76	27.14	-46.69	54.01
350f	38.71	61.92	-37.78	72.54
375f	45.08	64.27	-3.32	64.36



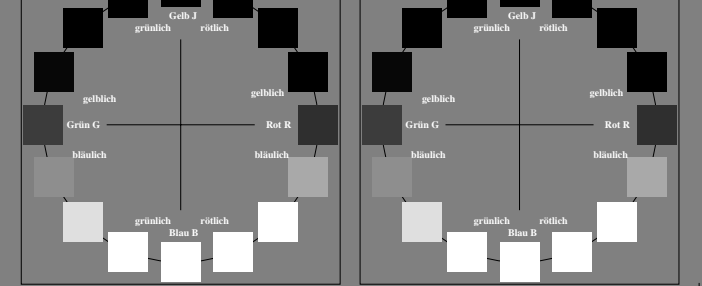
Ein und Ausgabe: Farbmetrisches Drucker-Reflexiv-System FRS12_95_L-20_95 für relativen CIELAB-Buntton $h^* = lab^*h^* = h_{ab}^*/360 = 0.256$ $u^*_e = r100g$
 Daten für jede Farbe:
 lab^*v_{CM} und lab^*v_{CM}
 Bunttonstexte:
 $u^*_e = r100g$ $u^*_d = o90f0$
 Kontrastreduzierungsfaktor:
 $c_{CR} = 0.9$

FRS12_95a: adaptierte CIELAB-Daten				
L^*	L^*	a^*	b^*	C_{90}
009	43.8	53.91	39.75	66.98
25f	47.38	-4.65	98.29	98.4
50f	51.95	-56.34	43.53	71.2
75f	59.62	-26.2	-28.62	38.8
100	52.01	45.2	-52.8	69.51
125f	45.88	70.67	-29.93	76.75
150f	50.0	0.0	0.0	0.0
175f	39.92	58.74	27.99	65.07
200f	52.23	-42.42	13.6	44.55
225f	30.57	1.41	-46.47	46.49

FRS12_95a: adaptierte CIELAB-Daten				
L^*	L^*	a^*	b^*	C_{90}
009	44.18	56.95	27.14	63.08
25f	47.38	49.13	44.53	66.31
50f	57.76	35.24	58.41	68.22
75f	69.81	19.13	74.52	76.94
100	87.06	-3.84	97.58	97.66
125f	72.25	-26.89	74.73	79.42
150f	60.82	-43.48		

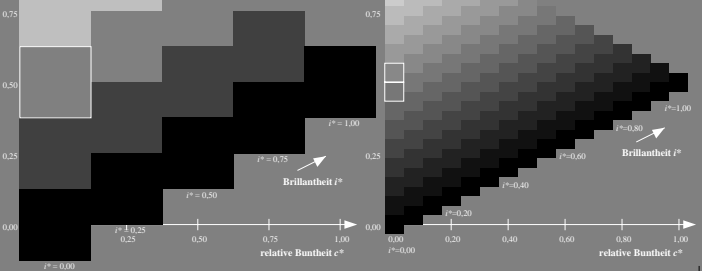
Ein und Ausgabe: Farbmetrisches Drucker-Reflexiv-System FRS12_95a
 Daten für jede Farbe:
 $u^*c = 16$ Bunttöne $r09, r25j, ..., b75r$
 Kontrastreduzierungsfaktor:
 $c^* = 0.9$

FRS12_95a adaptierte CIELAB-Daten		LAB ^h /LAB ^b Ma: 81 63 25	
L^*	a^*	b^*	M_{10}^*
r09	44.18	56.95	27.14
r25j	47.38	49.13	44.53
g31	57.76	35.24	58.41
g45	59.62	-26.2	88.22
y59	69.81	19.13	74.52
y73	87.06	-3.94	97.58
o87	72.25	-26.89	74.73
o99	60.82	-43.48	57.15
m113	52.51	-54.15	38.27
m126	55.08	-44.06	14.13
m140	52.38	97.22	-35.64
m154	50.58	-29.03	-21.86
m167	57.0	46.36	1.15
m181	33.76	27.14	-46.69
m195	45.08	64.27	-3.32



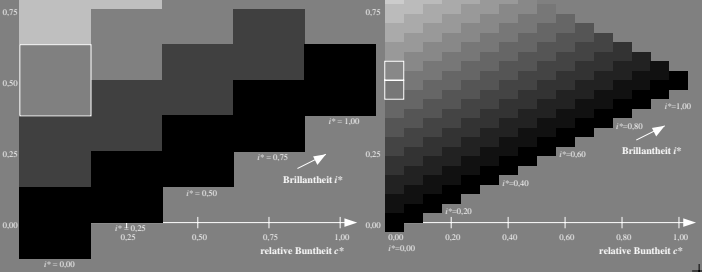
Ein und Ausgabe: Farbmetrisches Drucker-Reflexiv-System FRS12_95b
 Daten für jede Farbe:
 $u^*c = 16$ Bunttöne $r09, r25j, ..., b75r$
 Kontrastreduzierungsfaktor:
 $c^* = 0.9$

FRS12_95b adaptierte CIELAB-Daten		LAB ^h /LAB ^b Ma: 83 68 58	
L^*	a^*	b^*	M_{10}^*
r09	44.18	56.95	27.14
r25j	47.38	49.13	44.53
g31	57.76	35.24	58.41
g45	59.62	-26.2	88.22
y59	69.81	19.13	74.52
y73	87.06	-3.94	97.58
o87	72.25	-26.89	74.73
o99	60.82	-43.48	57.15
m113	52.51	-54.15	38.27
m126	55.08	-44.06	14.13
m140	52.38	97.22	-35.64
m154	50.58	-29.03	-21.86
m167	57.0	46.36	1.15
m181	33.76	27.14	-46.69
m195	45.08	64.27	-3.32



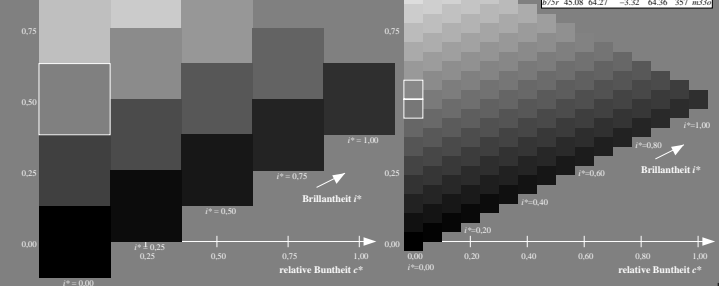
Ein und Ausgabe: Farbmetrisches Drucker-Reflexiv-System FRS12_95c
 Daten für jede Farbe:
 $u^*c = 16$ Bunttöne $r09, r25j, ..., b75r$
 Kontrastreduzierungsfaktor:
 $c^* = 0.9$

FRS12_95c adaptierte CIELAB-Daten		LAB ^h /LAB ^b Ma: 85 73 75	
L^*	a^*	b^*	M_{10}^*
r09	44.18	56.95	27.14
r25j	47.38	49.13	44.53
g31	57.76	35.24	58.41
g45	59.62	-26.2	88.22
y59	69.81	19.13	74.52
y73	87.06	-3.94	97.58
o87	72.25	-26.89	74.73
o99	60.82	-43.48	57.15
m113	52.51	-54.15	38.27
m126	55.08	-44.06	14.13
m140	52.38	97.22	-35.64
m154	50.58	-29.03	-21.86
m167	57.0	46.36	1.15
m181	33.76	27.14	-46.69
m195	45.08	64.27	-3.32



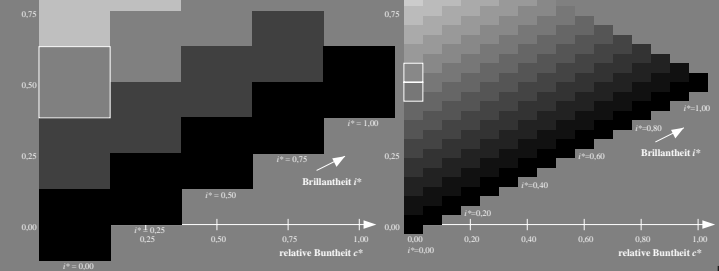
Ein und Ausgabe: Farbmetrisches Drucker-Reflexiv-System FRS12_95L
 Daten für jede Farbe:
 $u^*c = 16$ Bunttöne $r09, r25j, ..., b75r$
 Kontrastreduzierungsfaktor:
 $c^* = 0.9$

FRS12_95a adaptierte CIELAB-Daten		LAB ^h /LAB ^b Ma: 44 57 27	
L^*	a^*	b^*	M_{10}^*
r09	44.18	56.95	27.14
r25j	47.38	49.13	44.53
g31	57.76	35.24	58.41
g45	59.62	-26.2	88.22
y59	69.81	19.13	74.52
y73	87.06	-3.94	97.58
o87	72.25	-26.89	74.73
o99	60.82	-43.48	57.15
m113	52.51	-54.15	38.27
m126	55.08	-44.06	14.13
m140	52.38	97.22	-35.64
m154	50.58	-29.03	-21.86
m167	57.0	46.36	1.15
m181	33.76	27.14	-46.69
m195	45.08	64.27	-3.32



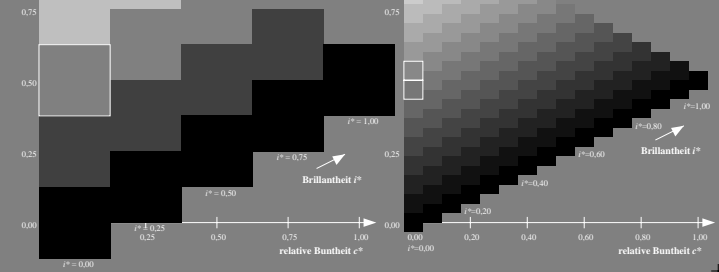
Ein und Ausgabe: Farbmetrisches Drucker-Reflexiv-System FRS12_95L
 Daten für jede Farbe:
 $u^*c = 16$ Bunttöne $r09, r25j, ..., b75r$
 Kontrastreduzierungsfaktor:
 $c^* = 0.9$

FRS12_95a adaptierte CIELAB-Daten		LAB ^h /LAB ^b Ma: 44 57 27	
L^*	a^*	b^*	M_{10}^*
r09	44.18	56.95	27.14
r25j	47.38	49.13	44.53
g31	57.76	35.24	58.41
g45	59.62	-26.2	88.22
y59	69.81	19.13	74.52
y73	87.06	-3.94	97.58
o87	72.25	-26.89	74.73
o99	60.82	-43.48	57.15
m113	52.51	-54.15	38.27
m126	55.08	-44.06	14.13
m140	52.38	97.22	-35.64
m154	50.58	-29.03	-21.86
m167	57.0	46.36	1.15
m181	33.76	27.14	-46.69
m195	45.08	64.27	-3.32



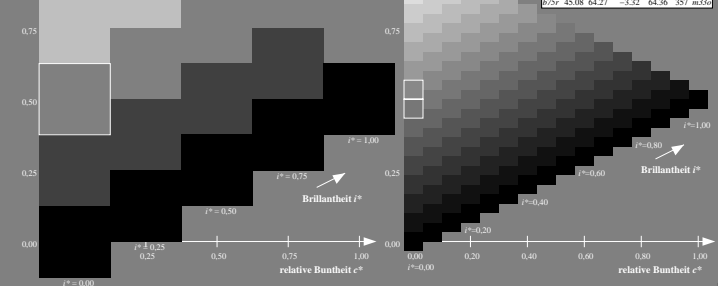
Ein und Ausgabe: Farbmetrisches Drucker-Reflexiv-System FRS12_95L
 Daten für jede Farbe:
 $u^*c = 16$ Bunttöne $r09, r25j, ..., b75r$
 Kontrastreduzierungsfaktor:
 $c^* = 0.9$

FRS12_95a adaptierte CIELAB-Daten		LAB ^h /LAB ^b Ma: 43 57 75	
L^*	a^*	b^*	M_{10}^*
r09	44.18	56.95	27.14
r25j	47.38	49.13	44.53
g31	57.76	35.24	58.41
g45	59.62	-26.2	88.22
y59	69.81	19.13	74.52
y73	87.06	-3.94	97.58
o87	72.25	-26.89	74.73
o99	60.82	-43.48	57.15
m113	52.51	-54.15	38.27
m126	55.08	-44.06	14.13
m140	52.38	97.22	-35.64
m154	50.58	-29.03	-21.86
m167	57.0	46.36	1.15
m181	33.76	27.14	-46.69
m195	45.08	64.27	-3.32



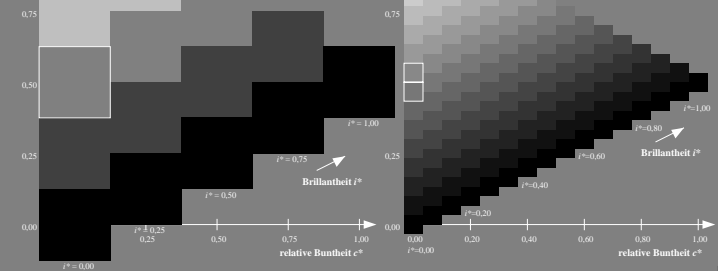
Ein und Ausgabe: Farbmetrisches Drucker-Reflexiv-System FRS12_95L
 Daten für jede Farbe:
 $u^*c = 16$ Bunttöne $r09, r25j, ..., b75r$
 Kontrastreduzierungsfaktor:
 $c^* = 0.9$

FRS12_95a adaptierte CIELAB-Daten		LAB ^h /LAB ^b Ma: 47 49 45	
L^*	a^*	b^*	M_{10}^*
r09	44.18	56.95	27.14
r25j	47.38	49.13	44.53
g31	57.76	35.24	58.41
g45	59.62	-26.2	88.22
y59	69.81	19.13	74.52
y73	87.06	-3.94	97.58
o87	72.25	-26.89	74.73
o99	60.82	-43.48	57.15
m113	52.51	-54.15	38.27
m126	55.08	-44.06	14.13
m140	52.38	97.22	-35.64
m154	50.58	-29.03	-21.86
m167	57.0	46.36	1.15
m181	33.76	27.14	-46.69
m195	45.08	64.27	-3.32



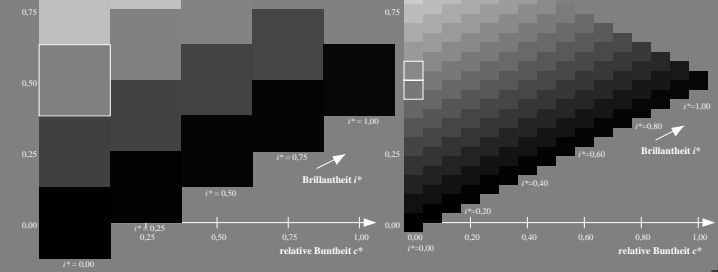
Ein und Ausgabe: Farbmetrisches Drucker-Reflexiv-System FRS12_95L
 Daten für jede Farbe:
 $u^*c = 16$ Bunttöne $r09, r25j, ..., b75r$
 Kontrastreduzierungsfaktor:
 $c^* = 0.9$

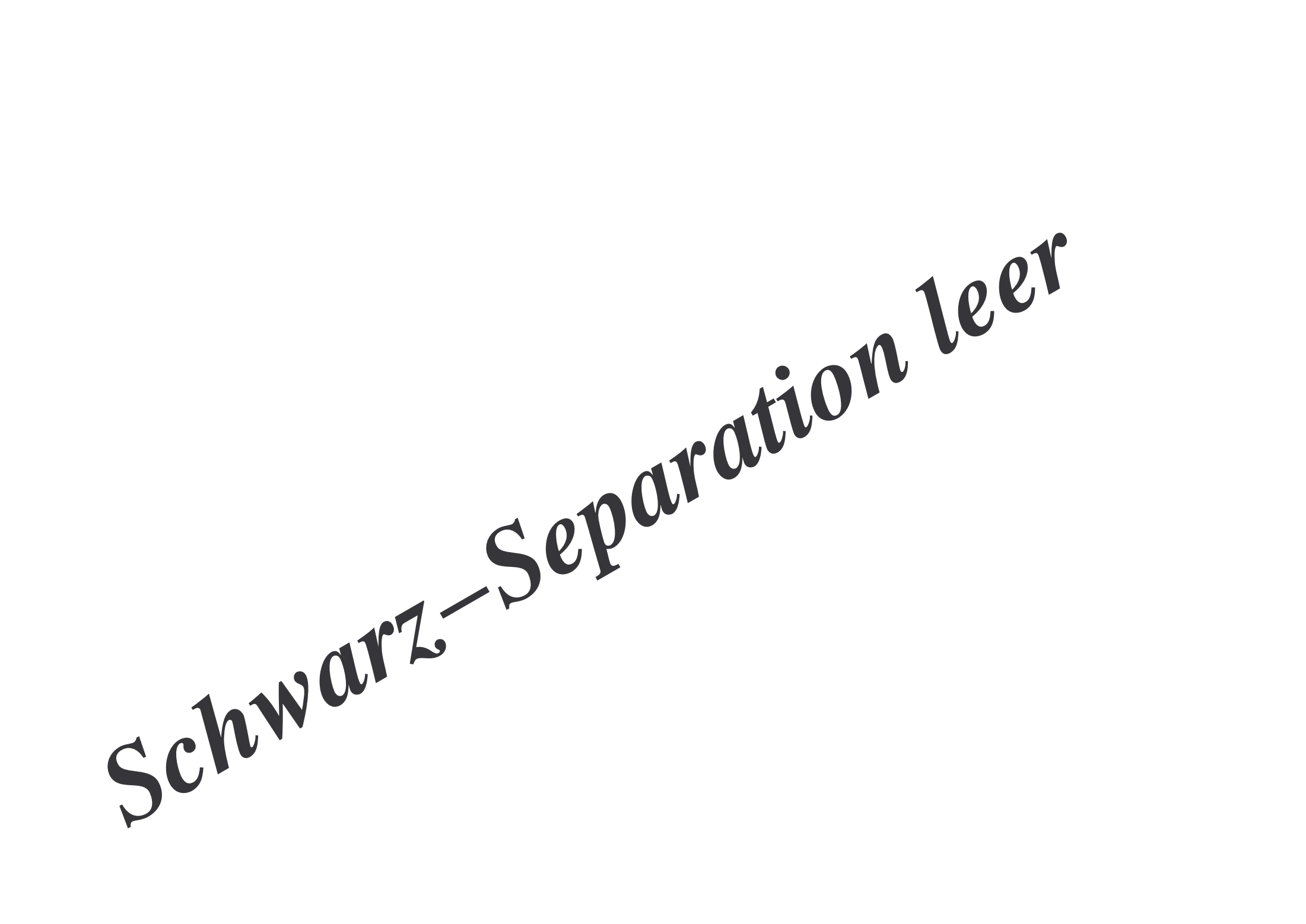
FRS12_95a adaptierte CIELAB-Daten		LAB ^h /LAB ^b Ma: 70 19 75	
L^*	a^*	b^*	M_{10}^*
r09	44.18	56.95	27.14
r25j	47.38	49.13	44.53
g31	57.76	35.24	58.41
g45	59.62	-26.2	88.22
y59	69.81	19.13	74.52
y73	87.06	-3.94	97.58
o87	72.25	-26.89	74.73
o99	60.82	-43.48	57.15
m113	52.51	-54.15	38.27
m126	55.08	-44.06	14.13
m140	52.38	97.22	-35.64
m154	50.58	-29.03	-21.86
m167	57.0	46.36	1.15
m181	33.76	27.14	-46.69
m195	45.08	64.27	-3.32



Ein und Ausgabe: Farbmetrisches Drucker-Reflexiv-System FRS12_95L
 Daten für jede Farbe:
 $u^*c = 16$ Bunttöne $r09, r25j, ..., b75r$
 Kontrastreduzierungsfaktor:
 $c^* = 0.9$

FRS12_95a adaptierte CIELAB-Daten		LAB ^h /LAB ^b Ma: 87 -4 98	
L^*	a^*	b^*	M_{10}^*
r09	44.18	56.95	27.14
r25j	47.38	49.13	44.53
g31	57.76	35.24	58.41
g45	59.62	-26.2	88.22
y59	69.81	19.13	74.52
y73	87.06	-3.94	97.58
o87	72.25	-26.89	74.73
o99	60.82	-43.48	57.15
m113	52.51	-54.15	38.27
m126	55.08	-44.06	14.13
m140	52.38	97.22	-35.64
m154	50.58	-29.03	-21.86
m167	57.0	46.36	1.15
m181	33.76	27.14	-46.69
m195	45.08	64.27	-3.32





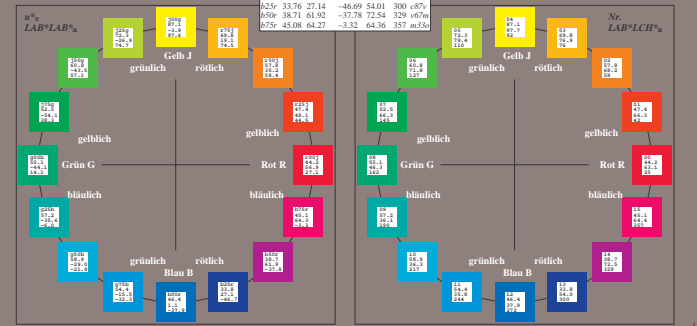
Schwarz-September leer

Ein und Ausgabe: Farbmetrisches Drucker-Reflexiv-System FR512_95a
 Daten für jede Farbe:
 $u^*_c =$ und Nummer $N_c = 00 \dots 15$
 Elementar-Bunttonste: $u^*_c = 16$ Bunttonne $rob_r, r25j, \dots, b75r$
 Kontrastreduzierungs-faktor:
 $c_{kr} = 0.9$
 Dreiecks-Heiligkeit I^*

FR512_95a: adaptierte CIELAB-Daten
 L^*, a^*, b^* C_{100}^*, h_{100}^* C_{95}^*, h_{95}^* u^*_c N_c

Obj.	43.8	53.91	39.75	66.98	36
Yuv.	87.58	-4.65	98.29	98.4	93
Yxy.	51.95	-56.34	43.53	71.2	142
Yxy.	59.62	-26.2	-28.62	38.8	228
Yuv.	25.01	45.2	-52.8	69.51	311
Mxy.	45.88	70.67	-29.93	76.75	337
Muv.	20.0	0.0	0.0	0.0	0
Wuv.	95.0	0.0	0.0	0.0	0
Ruv.	39.92	58.74	27.99	65.07	25
Ruv.	81.26	-2.89	71.56	71.62	92
Guv.	52.23	-42.42	11.6	44.55	162
Guv.	30.57	1.41	-46.47	46.49	272

FR512_95a: adaptierte CIELAB-Daten
 Daten für Maximalfarbe (Ma):
 LAB^*/LAB^*_{Ma} : 88 35 58
 LAB^*/LCH^*_{Ma} : 88 68 58
 LAB^*/a^*_{Ma} : 1.0 0.5 0.0
 LAB^*/b^*_{Ma} : 1.0 0.4 0.0
 Dreiecks-Heiligkeit I^*

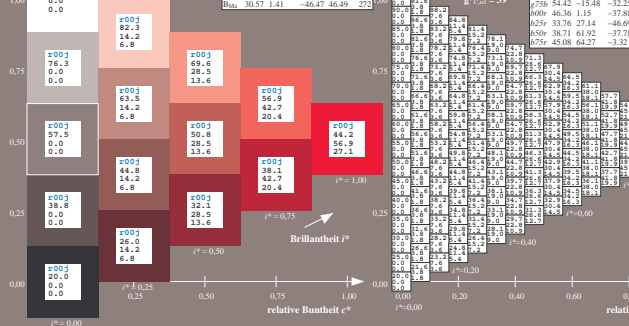


Ein und Ausgabe: Farbmetrisches Drucker-Reflexiv-System FR512_95_L*20_95 für relativen CIELAB-Buntton $h^* = lab^*/h^* = h_{95}/360 = 0.071$ $u^*_c = r00$
 Daten für jede Farbe:
 lab^*/a^* und lab^*/b^*
 Bunttonste: $u^*_c = r00$ $u^*_d = ma10$
 Kontrastreduzierungs-faktor:
 $c_{kr} =$
 Dreiecks-Heiligkeit I^*

FR512_95a: adaptierte CIELAB-Daten
 L^*, a^*, b^* C_{100}^*, h_{100}^* C_{95}^*, h_{95}^* u^*_c N_c

Obj.	43.8	53.91	39.75	66.98	36
Yuv.	87.58	-4.65	98.29	98.4	93
Yxy.	51.95	-56.34	43.53	71.2	142
Yxy.	59.62	-26.2	-28.62	38.8	228
Yuv.	25.01	45.2	-52.8	69.51	311
Mxy.	45.88	70.67	-29.93	76.75	337
Muv.	20.0	0.0	0.0	0.0	0
Wuv.	95.0	0.0	0.0	0.0	0
Ruv.	39.92	58.74	27.99	65.07	25
Ruv.	81.26	-2.89	71.56	71.62	92
Guv.	52.23	-42.42	11.6	44.55	162
Guv.	30.57	1.41	-46.47	46.49	272

FR512_95a: adaptierte CIELAB-Daten
 Daten für Maximalfarbe (Ma):
 LAB^*/LAB^*_{Ma} : 44 57 27
 LAB^*/LCH^*_{Ma} : 44 63 25
 LAB^*/a^*_{Ma} : 1.0 0.0 0.0
 LAB^*/b^*_{Ma} : 1.0 0.0 0.18
 LAB^*/h^*_{Ma} : 1.0 0.0 0.18
 Dreiecks-Heiligkeit I^*

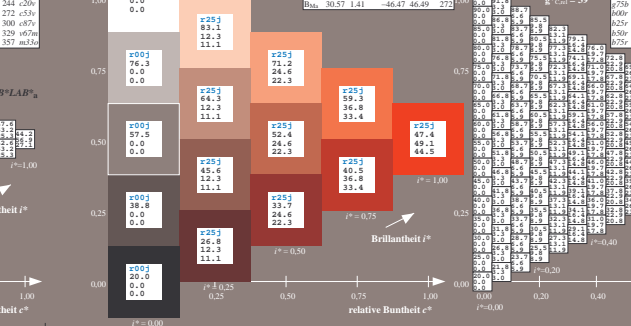


Ein und Ausgabe: Farbmetrisches Drucker-Reflexiv-System FR512_95_L*20_95 für relativen CIELAB-Buntton $h^* = lab^*/h^* = h_{95}/360 = 0.117$ $u^*_c = r25j$
 Daten für jede Farbe:
 lab^*/a^* und lab^*/b^*
 Bunttonste: $u^*_c = r25j$ $u^*_d = o10p$
 Kontrastreduzierungs-faktor:
 $c_{kr} =$
 Dreiecks-Heiligkeit I^*

FR512_95a: adaptierte CIELAB-Daten
 L^*, a^*, b^* C_{100}^*, h_{100}^* C_{95}^*, h_{95}^* u^*_c N_c

Obj.	43.8	53.91	39.75	66.98	36
Yuv.	87.58	-4.65	98.29	98.4	93
Yxy.	51.95	-56.34	43.53	71.2	142
Yxy.	59.62	-26.2	-28.62	38.8	228
Yuv.	25.01	45.2	-52.8	69.51	311
Mxy.	45.88	70.67	-29.93	76.75	337
Muv.	20.0	0.0	0.0	0.0	0
Wuv.	95.0	0.0	0.0	0.0	0
Ruv.	39.92	58.74	27.99	65.07	25
Ruv.	81.26	-2.89	71.56	71.62	92
Guv.	52.23	-42.42	11.6	44.55	162
Guv.	30.57	1.41	-46.47	46.49	272

FR512_95a: adaptierte CIELAB-Daten
 Daten für Maximalfarbe (Ma):
 LAB^*/LAB^*_{Ma} : 47 49 45
 LAB^*/LCH^*_{Ma} : 47 66 42
 LAB^*/a^*_{Ma} : 1.0 0.25 0.0
 LAB^*/b^*_{Ma} : 1.0 0.1 0.0
 LAB^*/h^*_{Ma} : 1.0 0.1 0.0
 Dreiecks-Heiligkeit I^*

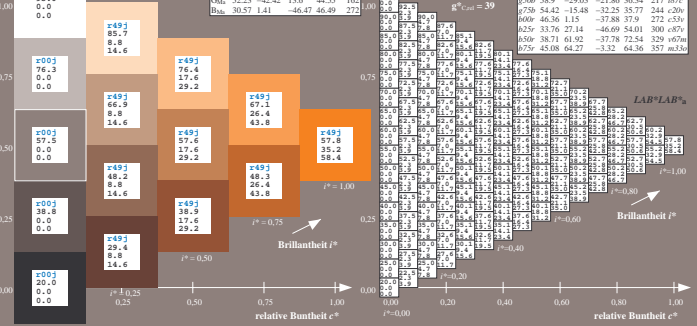


Ein und Ausgabe: Farbmetrisches Drucker-Reflexiv-System FR512_95_L*20_95 für relativen CIELAB-Buntton $h^* = lab^*/h^* = h_{95}/360 = 0.164$ $u^*_c = r50j$
 Daten für jede Farbe:
 lab^*/a^* und lab^*/b^*
 Bunttonste: $u^*_c = r50j$ $u^*_d = o40p$
 Kontrastreduzierungs-faktor:
 $c_{kr} = 0.9$
 Dreiecks-Heiligkeit I^*

FR512_95a: adaptierte CIELAB-Daten
 L^*, a^*, b^* C_{100}^*, h_{100}^* C_{95}^*, h_{95}^* u^*_c N_c

Obj.	43.8	53.91	39.75	66.98	36
Yuv.	87.58	-4.65	98.29	98.4	93
Yxy.	51.95	-56.34	43.53	71.2	142
Yxy.	59.62	-26.2	-28.62	38.8	228
Yuv.	25.01	45.2	-52.8	69.51	311
Mxy.	45.88	70.67	-29.93	76.75	337
Muv.	20.0	0.0	0.0	0.0	0
Wuv.	95.0	0.0	0.0	0.0	0
Ruv.	39.92	58.74	27.99	65.07	25
Ruv.	81.26	-2.89	71.56	71.62	92
Guv.	52.23	-42.42	11.6	44.55	162
Guv.	30.57	1.41	-46.47	46.49	272

FR512_95a: adaptierte CIELAB-Daten
 Daten für Maximalfarbe (Ma):
 LAB^*/LAB^*_{Ma} : 58 35 58
 LAB^*/LCH^*_{Ma} : 58 68 58
 LAB^*/a^*_{Ma} : 1.0 0.5 0.0
 LAB^*/b^*_{Ma} : 1.0 0.4 0.0
 Dreiecks-Heiligkeit I^*

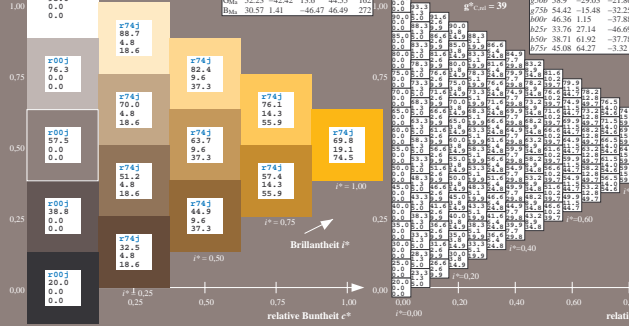


Ein und Ausgabe: Farbmetrisches Drucker-Reflexiv-System FR512_95_L*20_95 für relativen CIELAB-Buntton $h^* = lab^*/h^* = h_{95}/360 = 0.21$ $u^*_c = r75j$
 Daten für jede Farbe:
 lab^*/a^* und lab^*/b^*
 Bunttonste: $u^*_c = r75j$ $u^*_d = o60p$
 Kontrastreduzierungs-faktor:
 $c_{kr} =$
 Dreiecks-Heiligkeit I^*

FR512_95a: adaptierte CIELAB-Daten
 L^*, a^*, b^* C_{100}^*, h_{100}^* C_{95}^*, h_{95}^* u^*_c N_c

Obj.	43.8	53.91	39.75	66.98	36
Yuv.	87.58	-4.65	98.29	98.4	93
Yxy.	51.95	-56.34	43.53	71.2	142
Yxy.	59.62	-26.2	-28.62	38.8	228
Yuv.	25.01	45.2	-52.8	69.51	311
Mxy.	45.88	70.67	-29.93	76.75	337
Muv.	20.0	0.0	0.0	0.0	0
Wuv.	95.0	0.0	0.0	0.0	0
Ruv.	39.92	58.74	27.99	65.07	25
Ruv.	81.26	-2.89	71.56	71.62	92
Guv.	52.23	-42.42	11.6	44.55	162
Guv.	30.57	1.41	-46.47	46.49	272

FR512_95a: adaptierte CIELAB-Daten
 Daten für Maximalfarbe (Ma):
 LAB^*/LAB^*_{Ma} : 70 17 75
 LAB^*/LCH^*_{Ma} : 70 77 75
 LAB^*/a^*_{Ma} : 1.0 0.25 0.0
 LAB^*/b^*_{Ma} : 1.0 0.7 0.0
 LAB^*/h^*_{Ma} : 1.0 0.7 0.0
 Dreiecks-Heiligkeit I^*

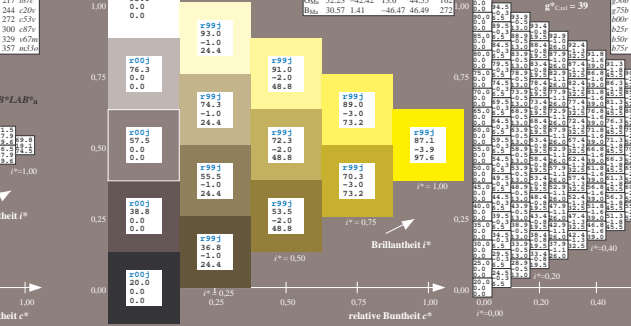


Ein und Ausgabe: Farbmetrisches Drucker-Reflexiv-System FR512_95_L*20_95 für relativen CIELAB-Buntton $h^* = lab^*/h^* = h_{95}/360 = 0.256$ $u^*_c = r100j$
 Daten für jede Farbe:
 lab^*/a^* und lab^*/b^*
 Bunttonste: $u^*_c = r100j$ $u^*_d = o90p$
 Kontrastreduzierungs-faktor:
 $c_{kr} =$
 Dreiecks-Heiligkeit I^*

FR512_95a: adaptierte CIELAB-Daten
 L^*, a^*, b^* C_{100}^*, h_{100}^* C_{95}^*, h_{95}^* u^*_c N_c

Obj.	43.8	53.91	39.75	66.98	36
Yuv.	87.58	-4.65	98.29	98.4	93
Yxy.	51.95	-56.34	43.53	71.2	142
Yxy.	59.62	-26.2	-28.62	38.8	228
Yuv.	25.01	45.2	-52.8	69.51	311
Mxy.	45.88	70.67	-29.93	76.75	337
Muv.	20.0	0.0	0.0	0.0	0
Wuv.	95.0	0.0	0.0	0.0	0
Ruv.	39.92	58.74	27.99	65.07	25
Ruv.	81.26	-2.89	71.56	71.62	92
Guv.	52.23	-42.42	11.6	44.55	162
Guv.	30.57	1.41	-46.47	46.49	272

FR512_95a: adaptierte CIELAB-Daten
 Daten für Maximalfarbe (Ma):
 LAB^*/LAB^*_{Ma} : 87 9 98
 LAB^*/LCH^*_{Ma} : 87 98 92
 LAB^*/a^*_{Ma} : 1.0 1.0 0.0
 LAB^*/b^*_{Ma} : 1.0 1.0 0.0
 LAB^*/h^*_{Ma} : 1.0 0.99 0.0
 Dreiecks-Heiligkeit I^*

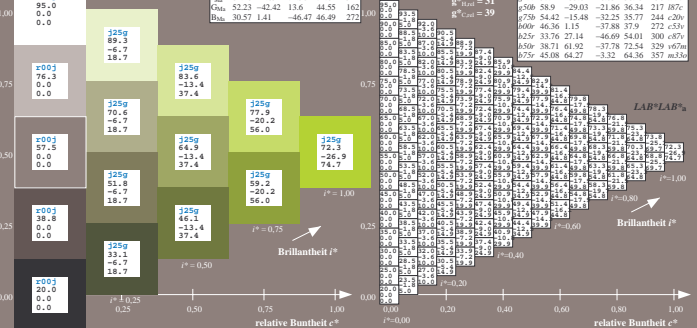


Ein und Ausgabe: Farbmetrisches Drucker-Reflexiv-System FR512_95_L*20_95 für relativen CIELAB-Buntton $h^* = lab^*/h^* = h_{95}/360 = 0.305$ $u^*_c = r25j$
 Daten für jede Farbe:
 lab^*/a^* und lab^*/b^*
 Bunttonste: $u^*_c = r25j$ $u^*_d = y30f$
 Kontrastreduzierungs-faktor:
 $c_{kr} = 0.9$
 Dreiecks-Heiligkeit I^*

FR512_95a: adaptierte CIELAB-Daten
 L^*, a^*, b^* C_{100}^*, h_{100}^* C_{95}^*, h_{95}^* u^*_c N_c

Obj.	43.8	53.91	39.75	66.98	36
Yuv.	87.58	-4.65	98.29	98.4	93
Yxy.	51.95	-56.34	43.53	71.2	142
Yxy.	59.62	-26.2	-28.62	38.8	228
Yuv.	25.01	45.2	-52.8	69.51	311
Mxy.	45.88	70.67	-29.93	76.75	337
Muv.	20.0	0.0	0.0	0.0	0
Wuv.	95.0	0.0	0.0	0.0	0
Ruv.	39.92	58.74	27.99	65.07	25
Ruv.	81.26	-2.89	71.56	71.62	92
Guv.	52.23	-42.42	11.6	44.55	162
Guv.	30.57	1.41	-46.47	46.49	272

FR512_95a: adaptierte CIELAB-Daten
 Daten für Maximalfarbe (Ma):
 LAB^*/LAB^*_{Ma} : 72 27 75
 LAB^*/LCH^*_{Ma} : 72 79 109
 LAB^*/a^*_{Ma} : 1.0 0.75 0.0
 LAB^*/b^*_{Ma} : 1.0 0.75 0.0
 Dreiecks-Heiligkeit I^*

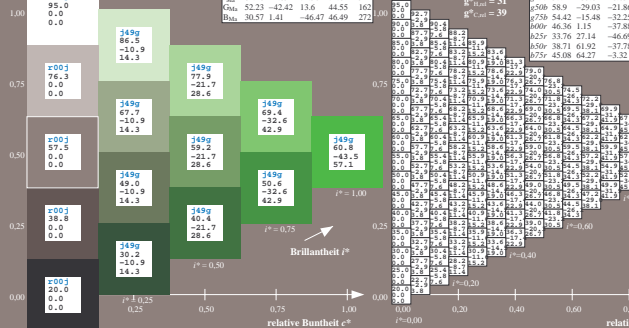


Ein und Ausgabe: Farbmetrisches Drucker-Reflexiv-System FR512_95_L*20_95 für relativen CIELAB-Buntton $h^* = lab^*/h^* = h_{95}/360 = 0.354$ $u^*_c = r50j$
 Daten für jede Farbe:
 lab^*/a^* und lab^*/b^*
 Bunttonste: $u^*_c = r50j$ $u^*_d = y60f$
 Kontrastreduzierungs-faktor:
 $c_{kr} =$
 Dreiecks-Heiligkeit I^*

FR512_95a: adaptierte CIELAB-Daten
 L^*, a^*, b^* C_{100}^*, h_{100}^* C_{95}^*, h_{95}^* u^*_c N_c

Obj.	43.8	53.91	39.75	66.98	36
Yuv.	87.58	-4.65	98.29	98.4	93
Yxy.	51.95	-56.34	43.53	71.2	142
Yxy.	59.62	-26.2	-28.62	38.8	228
Yuv.	25.01	45.2	-52.8	69.51	311
Mxy.	45.88	70.67	-29.93	76.75	337
Muv.	20.0	0.0	0.0	0.0	0
Wuv.	95.0	0.0	0.0	0.0	0
Ruv.	39.92	58.74	27.99	65.07	25
Ruv.	81.26	-2.89	71.56	71.62	92
Guv.	52.23	-42.42	11.6	44.55	162
Guv.	30.57	1.41	-46.47	46.49	272

FR512_95a: adaptierte CIELAB-Daten
 Daten für Maximalfarbe (Ma):
 LAB^*/LAB^*_{Ma} : 61 43 57
 LAB^*/LCH^*_{Ma} : 61 72 127
 LAB^*/a^*_{Ma} : 1.0 0.5 1.0
 LAB^*/b^*_{Ma} : 0.5 1.0 0.0
 LAB^*/h^*_{Ma} : 0.5 1.0 0.0
 Dreiecks-Heiligkeit I^*

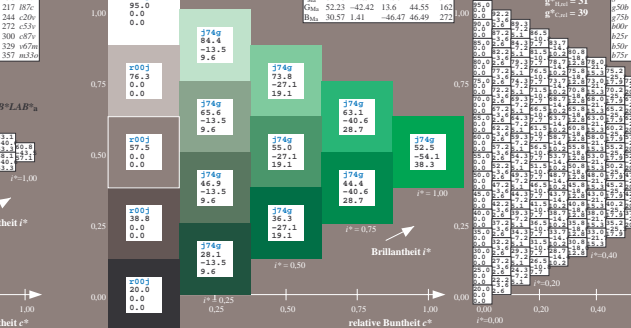


Ein und Ausgabe: Farbmetrisches Drucker-Reflexiv-System FR512_95_L*20_95 für relativen CIELAB-Buntton $h^* = lab^*/h^* = h_{95}/360 = 0.402$ $u^*_c = r75j$
 Daten für jede Farbe:
 lab^*/a^* und lab^*/b^*
 Bunttonste: $u^*_c = r75j$ $u^*_d = y90f$
 Kontrastreduzierungs-faktor:
 $c_{kr} =$
 Dreiecks-Heiligkeit I^*

FR512_95a: adaptierte CIELAB-Daten
 L^*, a^*, b^* C_{100}^*, h_{100}^* C_{95}^*, h_{95}^* u^*_c N_c

Obj.	43.8	53.91	39.75	66.98	36
Yuv.	87.58	-4.65	98.29	98.4	93
Yxy.	51.95	-56.34	43.53	71.2	142
Yxy.	59.62	-26.2	-28.62	38.8	228
Yuv.	25.01	45.2	-52.8	69.51	311
Mxy.	45.88	70.67	-29.93	76.75	337
Muv.	20.0	0.0	0.0	0.0	0
Wuv.	95.0	0.0	0.0	0.0	0
Ruv.	39.92	58.74	27.99	65.07	25
Ruv.	81.26	-2.89	71.56	71.62	92
Guv.	52.23	-42.42	11.6	44.55	162
Guv.	30.57	1.41	-46.47	46.49	272

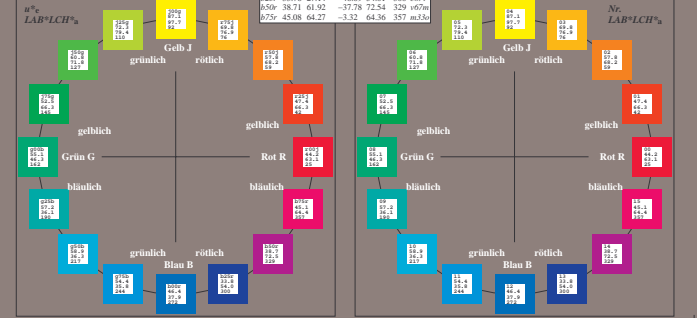
FR512_95a: adaptierte CIELAB-Daten
 Daten für Maximalfarbe (Ma):
 LAB^*/LAB^*_{Ma} : 53 56 141
 LAB^*/LCH^*_{Ma} : 53 66 141
 LAB^*/a^*_{Ma} : 1.0 1.0 0.0
 LAB^*/b^*_{Ma} : 0.25 1.0 0.0
 LAB^*/h^*_{Ma} : 0.25 1.0 0.0
 Dreiecks-Heiligkeit I^*



Ein und Ausgabe: Farbmetrisches Drucker-Reflexiv-System FR512_95a
Daten für jede Farbe:
 $u^* = 0$ und $v^* = 0$
Elementar-Bunttonste: $u^* = 16$ Bunttoene $r09, r25, \dots, b75$
Kontrastreduzierungs-faktor: $c^* = 19$
Dreiecks-Helligkeit $^{\circ}$

FR512_95a: adaptierte CIELAB-Daten
 L^*, a^*, b^*
Okl: 43.8 53.91 39.75 66.98 36
Yok: 87.58 -4.65 98.29 98.4 93
Cok: 51.95 -56.34 43.53 71.2 142
Mok: 59.62 -26.2 -28.62 38.8 228
Bok: 25.01 45.2 -52.8 69.51 311
Mok: 45.88 70.67 -29.93 76.75 337
Wok: 95.0 0.0 0.0 0.0 0
Rok: 39.92 58.74 27.99 65.07 25
Bok: 81.26 -2.89 71.56 71.62 92
Gok: 52.23 -42.42 13.6 44.55 162
Bok: 30.57 1.41 -46.47 46.49 272

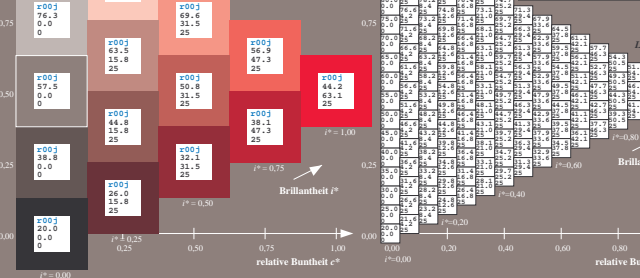
FR512_95a: adaptierte CIELAB-Daten
Daten für Maximalfarbe (Ma):
 LAB^*/LAB^*_{Ma} : 58 68 58
 LAB^*/LAB^*_{Ma} : 1.0 1.0 1.0
 LAB^*/LAB^*_{Ma} : 1.0 0.0 0.0
Dreiecks-Helligkeit $^{\circ}$
%Umfang $u^* = 88$
%Regulartität $^{\circ}$
 $R^*_{reg} = 31$
 $R^*_{reg} = 39$



Ein und Ausgabe: Farbmetrisches Drucker-Reflexiv-System FR512_95_L=20_95 für relativen CIELAB-Buntton $h^* = lab^*/h^* = h_{360}/360 = 0.071$ $u^* = r09$
Daten für jede Farbe:
 lab^*/a^* und lab^*/b^*
Bunttonste: $u^* = r09$ $u^* a^* = m810$
Kontrastreduzierungs-faktor: $c^* = 0.5$
Dreiecks-Helligkeit $^{\circ}$

FR512_95a: adaptierte CIELAB-Daten
 L^*, a^*, b^*
Okl: 43.8 53.91 39.75 66.98 36
Yok: 87.58 -4.65 98.29 98.4 93
Cok: 51.95 -56.34 43.53 71.2 142
Mok: 59.62 -26.2 -28.62 38.8 228
Bok: 25.01 45.2 -52.8 69.51 311
Mok: 45.88 70.67 -29.93 76.75 337
Wok: 95.0 0.0 0.0 0.0 0
Rok: 39.92 58.74 27.99 65.07 25
Bok: 81.26 -2.89 71.56 71.62 92
Gok: 52.23 -42.42 13.6 44.55 162
Bok: 30.57 1.41 -46.47 46.49 272

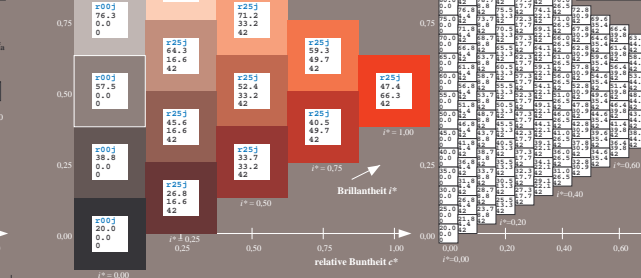
FR512_95a: adaptierte CIELAB-Daten
Daten für Maximalfarbe (Ma):
 LAB^*/LAB^*_{Ma} : 44 57 27
 LAB^*/LAB^*_{Ma} : 1.0 0.0 0.0
 LAB^*/LAB^*_{Ma} : 1.0 0.0 0.18
 LAB^*/LAB^*_{Ma} : 1.0 0.0 0.18
Dreiecks-Helligkeit $^{\circ}$
%Umfang $u^* = 88$
%Regulartität $^{\circ}$
 $R^*_{reg} = 31$
 $R^*_{reg} = 39$



Ein und Ausgabe: Farbmetrisches Drucker-Reflexiv-System FR512_95_L=20_95 für relativen CIELAB-Buntton $h^* = lab^*/h^* = h_{360}/360 = 0.117$ $u^* = r25j$
Daten für jede Farbe:
 lab^*/a^* und lab^*/b^*
Bunttonste: $u^* = r25j$ $u^* a^* = o109$
Kontrastreduzierungs-faktor: $c^* = 0.5$
Dreiecks-Helligkeit $^{\circ}$

FR512_95a: adaptierte CIELAB-Daten
 L^*, a^*, b^*
Okl: 43.8 53.91 39.75 66.98 36
Yok: 87.58 -4.65 98.29 98.4 93
Cok: 51.95 -56.34 43.53 71.2 142
Mok: 59.62 -26.2 -28.62 38.8 228
Bok: 25.01 45.2 -52.8 69.51 311
Mok: 45.88 70.67 -29.93 76.75 337
Wok: 95.0 0.0 0.0 0.0 0
Rok: 39.92 58.74 27.99 65.07 25
Bok: 81.26 -2.89 71.56 71.62 92
Gok: 52.23 -42.42 13.6 44.55 162
Bok: 30.57 1.41 -46.47 46.49 272

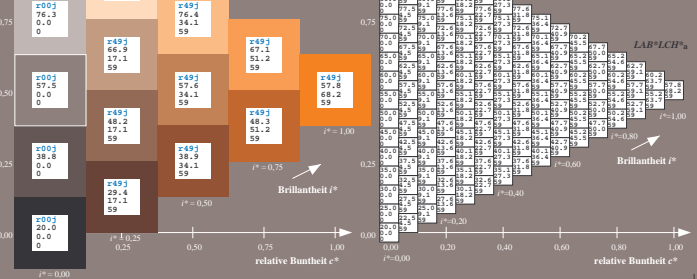
FR512_95a: adaptierte CIELAB-Daten
Daten für Maximalfarbe (Ma):
 LAB^*/LAB^*_{Ma} : 47 49 45
 LAB^*/LAB^*_{Ma} : 1.0 1.0 0.0
 LAB^*/LAB^*_{Ma} : 1.0 0.0 0.0
 LAB^*/LAB^*_{Ma} : 1.0 0.0 0.0
Dreiecks-Helligkeit $^{\circ}$
%Umfang $u^* = 88$
%Regulartität $^{\circ}$
 $R^*_{reg} = 31$
 $R^*_{reg} = 39$



Ein und Ausgabe: Farbmetrisches Drucker-Reflexiv-System FR512_95_L=20_95 für relativen CIELAB-Buntton $h^* = lab^*/h^* = h_{360}/360 = 0.164$ $u^* = r50j$
Daten für jede Farbe:
 lab^*/a^* und lab^*/b^*
Bunttonste: $u^* = r50j$ $u^* a^* = o40y$
Kontrastreduzierungs-faktor: $c^* = 0.9$
Dreiecks-Helligkeit $^{\circ}$

FR512_95a: adaptierte CIELAB-Daten
 L^*, a^*, b^*
Okl: 43.8 53.91 39.75 66.98 36
Yok: 87.58 -4.65 98.29 98.4 93
Cok: 51.95 -56.34 43.53 71.2 142
Mok: 59.62 -26.2 -28.62 38.8 228
Bok: 25.01 45.2 -52.8 69.51 311
Mok: 45.88 70.67 -29.93 76.75 337
Wok: 95.0 0.0 0.0 0.0 0
Rok: 39.92 58.74 27.99 65.07 25
Bok: 81.26 -2.89 71.56 71.62 92
Gok: 52.23 -42.42 13.6 44.55 162
Bok: 30.57 1.41 -46.47 46.49 272

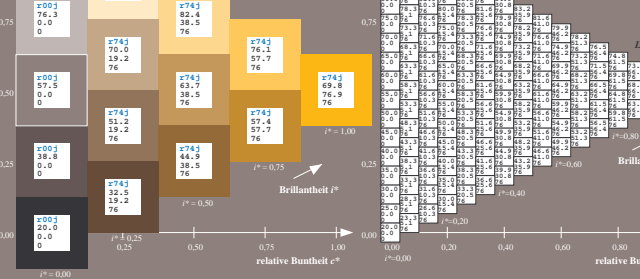
FR512_95a: adaptierte CIELAB-Daten
Daten für Maximalfarbe (Ma):
 LAB^*/LAB^*_{Ma} : 58 35 58
 LAB^*/LAB^*_{Ma} : 1.0 1.0 0.0
 LAB^*/LAB^*_{Ma} : 1.0 0.0 0.0
 LAB^*/LAB^*_{Ma} : 1.0 0.0 0.0
Dreiecks-Helligkeit $^{\circ}$
%Umfang $u^* = 88$
%Regulartität $^{\circ}$
 $R^*_{reg} = 31$
 $R^*_{reg} = 39$



Ein und Ausgabe: Farbmetrisches Drucker-Reflexiv-System FR512_95_L=20_95 für relativen CIELAB-Buntton $h^* = lab^*/h^* = h_{360}/360 = 0.21$ $u^* = r75j$
Daten für jede Farbe:
 lab^*/a^* und lab^*/b^*
Bunttonste: $u^* = r75j$ $u^* a^* = o60y$
Kontrastreduzierungs-faktor: $c^* = 0.5$
Dreiecks-Helligkeit $^{\circ}$

FR512_95a: adaptierte CIELAB-Daten
 L^*, a^*, b^*
Okl: 43.8 53.91 39.75 66.98 36
Yok: 87.58 -4.65 98.29 98.4 93
Cok: 51.95 -56.34 43.53 71.2 142
Mok: 59.62 -26.2 -28.62 38.8 228
Bok: 25.01 45.2 -52.8 69.51 311
Mok: 45.88 70.67 -29.93 76.75 337
Wok: 95.0 0.0 0.0 0.0 0
Rok: 39.92 58.74 27.99 65.07 25
Bok: 81.26 -2.89 71.56 71.62 92
Gok: 52.23 -42.42 13.6 44.55 162
Bok: 30.57 1.41 -46.47 46.49 272

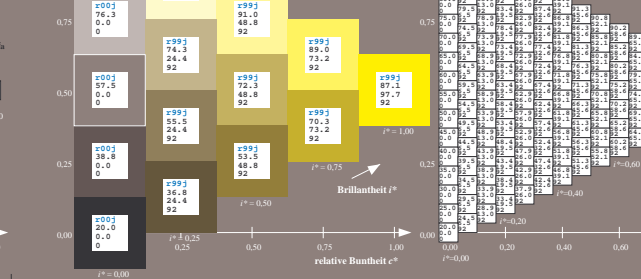
FR512_95a: adaptierte CIELAB-Daten
Daten für Maximalfarbe (Ma):
 LAB^*/LAB^*_{Ma} : 70 19 75
 LAB^*/LAB^*_{Ma} : 1.0 0.25 0.0
 LAB^*/LAB^*_{Ma} : 1.0 0.25 0.0
 LAB^*/LAB^*_{Ma} : 1.0 0.25 0.0
Dreiecks-Helligkeit $^{\circ}$
%Umfang $u^* = 88$
%Regulartität $^{\circ}$
 $R^*_{reg} = 31$
 $R^*_{reg} = 39$



Ein und Ausgabe: Farbmetrisches Drucker-Reflexiv-System FR512_95_L=20_95 für relativen CIELAB-Buntton $h^* = lab^*/h^* = h_{360}/360 = 0.256$ $u^* = r100j$
Daten für jede Farbe:
 lab^*/a^* und lab^*/b^*
Bunttonste: $u^* = r100j$ $u^* a^* = o90y$
Kontrastreduzierungs-faktor: $c^* = 0.5$
Dreiecks-Helligkeit $^{\circ}$

FR512_95a: adaptierte CIELAB-Daten
 L^*, a^*, b^*
Okl: 43.8 53.91 39.75 66.98 36
Yok: 87.58 -4.65 98.29 98.4 93
Cok: 51.95 -56.34 43.53 71.2 142
Mok: 59.62 -26.2 -28.62 38.8 228
Bok: 25.01 45.2 -52.8 69.51 311
Mok: 45.88 70.67 -29.93 76.75 337
Wok: 95.0 0.0 0.0 0.0 0
Rok: 39.92 58.74 27.99 65.07 25
Bok: 81.26 -2.89 71.56 71.62 92
Gok: 52.23 -42.42 13.6 44.55 162
Bok: 30.57 1.41 -46.47 46.49 272

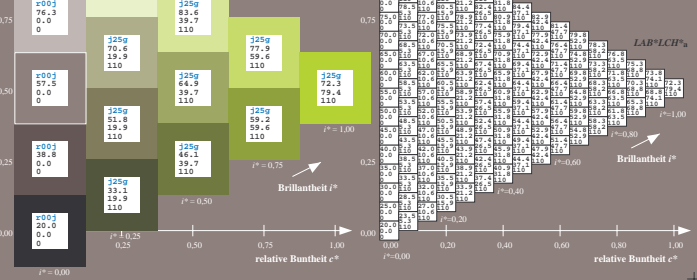
FR512_95a: adaptierte CIELAB-Daten
Daten für Maximalfarbe (Ma):
 LAB^*/LAB^*_{Ma} : 87 4 98
 LAB^*/LAB^*_{Ma} : 1.0 1.0 0.0
 LAB^*/LAB^*_{Ma} : 1.0 1.0 0.0
 LAB^*/LAB^*_{Ma} : 1.0 1.0 0.0
Dreiecks-Helligkeit $^{\circ}$
%Umfang $u^* = 88$
%Regulartität $^{\circ}$
 $R^*_{reg} = 31$
 $R^*_{reg} = 39$



Ein und Ausgabe: Farbmetrisches Drucker-Reflexiv-System FR512_95_L=20_95 für relativen CIELAB-Buntton $h^* = lab^*/h^* = h_{360}/360 = 0.305$ $u^* = r125j$
Daten für jede Farbe:
 lab^*/a^* und lab^*/b^*
Bunttonste: $u^* = r125j$ $u^* a^* = s4fl$
Kontrastreduzierungs-faktor: $c^* = 0.9$
Dreiecks-Helligkeit $^{\circ}$

FR512_95a: adaptierte CIELAB-Daten
 L^*, a^*, b^*
Okl: 43.8 53.91 39.75 66.98 36
Yok: 87.58 -4.65 98.29 98.4 93
Cok: 51.95 -56.34 43.53 71.2 142
Mok: 59.62 -26.2 -28.62 38.8 228
Bok: 25.01 45.2 -52.8 69.51 311
Mok: 45.88 70.67 -29.93 76.75 337
Wok: 95.0 0.0 0.0 0.0 0
Rok: 39.92 58.74 27.99 65.07 25
Bok: 81.26 -2.89 71.56 71.62 92
Gok: 52.23 -42.42 13.6 44.55 162
Bok: 30.57 1.41 -46.47 46.49 272

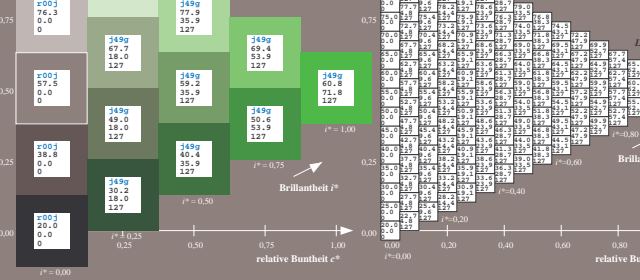
FR512_95a: adaptierte CIELAB-Daten
Daten für Maximalfarbe (Ma):
 LAB^*/LAB^*_{Ma} : 72 27 75
 LAB^*/LAB^*_{Ma} : 1.0 1.0 0.0
 LAB^*/LAB^*_{Ma} : 1.0 1.0 0.0
 LAB^*/LAB^*_{Ma} : 1.0 1.0 0.0
Dreiecks-Helligkeit $^{\circ}$
%Umfang $u^* = 88$
%Regulartität $^{\circ}$
 $R^*_{reg} = 31$
 $R^*_{reg} = 39$



Ein und Ausgabe: Farbmetrisches Drucker-Reflexiv-System FR512_95_L=20_95 für relativen CIELAB-Buntton $h^* = lab^*/h^* = h_{360}/360 = 0.354$ $u^* = r150j$
Daten für jede Farbe:
 lab^*/a^* und lab^*/b^*
Bunttonste: $u^* = r150j$ $u^* a^* = s60fl$
Kontrastreduzierungs-faktor: $c^* = 0.9$
Dreiecks-Helligkeit $^{\circ}$

FR512_95a: adaptierte CIELAB-Daten
 L^*, a^*, b^*
Okl: 43.8 53.91 39.75 66.98 36
Yok: 87.58 -4.65 98.29 98.4 93
Cok: 51.95 -56.34 43.53 71.2 142
Mok: 59.62 -26.2 -28.62 38.8 228
Bok: 25.01 45.2 -52.8 69.51 311
Mok: 45.88 70.67 -29.93 76.75 337
Wok: 95.0 0.0 0.0 0.0 0
Rok: 39.92 58.74 27.99 65.07 25
Bok: 81.26 -2.89 71.56 71.62 92
Gok: 52.23 -42.42 13.6 44.55 162
Bok: 30.57 1.41 -46.47 46.49 272

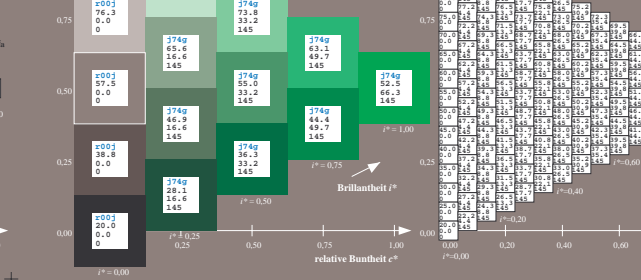
FR512_95a: adaptierte CIELAB-Daten
Daten für Maximalfarbe (Ma):
 LAB^*/LAB^*_{Ma} : 61 72 127
 LAB^*/LAB^*_{Ma} : 1.0 1.0 0.0
 LAB^*/LAB^*_{Ma} : 1.0 1.0 0.0
 LAB^*/LAB^*_{Ma} : 1.0 1.0 0.0
Dreiecks-Helligkeit $^{\circ}$
%Umfang $u^* = 88$
%Regulartität $^{\circ}$
 $R^*_{reg} = 31$
 $R^*_{reg} = 39$



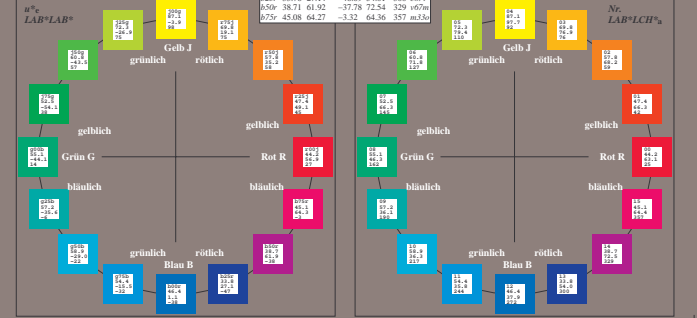
Ein und Ausgabe: Farbmetrisches Drucker-Reflexiv-System FR512_95_L=20_95 für relativen CIELAB-Buntton $h^* = lab^*/h^* = h_{360}/360 = 0.402$ $u^* = r175j$
Daten für jede Farbe:
 lab^*/a^* und lab^*/b^*
Bunttonste: $u^* = r175j$ $u^* a^* = s103c$
Kontrastreduzierungs-faktor: $c^* = 0.5$
Dreiecks-Helligkeit $^{\circ}$

FR512_95a: adaptierte CIELAB-Daten
 L^*, a^*, b^*
Okl: 43.8 53.91 39.75 66.98 36
Yok: 87.58 -4.65 98.29 98.4 93
Cok: 51.95 -56.34 43.53 71.2 142
Mok: 59.62 -26.2 -28.62 38.8 228
Bok: 25.01 45.2 -52.8 69.51 311
Mok: 45.88 70.67 -29.93 76.75 337
Wok: 95.0 0.0 0.0 0.0 0
Rok: 39.92 58.74 27.99 65.07 25
Bok: 81.26 -2.89 71.56 71.62 92
Gok: 52.23 -42.42 13.6 44.55 162
Bok: 30.57 1.41 -46.47 46.49 272

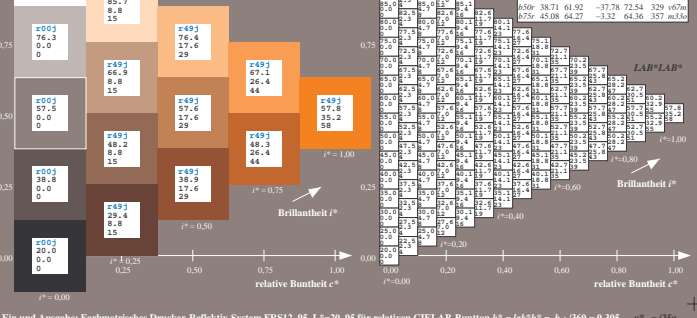
FR512_95a: adaptierte CIELAB-Daten
Daten für Maximalfarbe (Ma):
 LAB^*/LAB^*_{Ma} : 53 25 98
 LAB^*/LAB^*_{Ma} : 1.0 1.0 0.0
 LAB^*/LAB^*_{Ma} : 1.0 1.0 0.0
 LAB^*/LAB^*_{Ma} : 1.0 1.0 0.0
Dreiecks-Helligkeit $^{\circ}$
%Umfang $u^* = 88$
%Regulartität $^{\circ}$
 $R^*_{reg} = 31$
 $R^*_{reg} = 39$



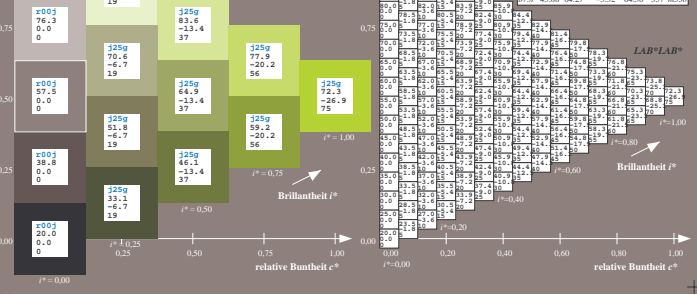
Ein und Ausgabe: Farbmetrisches Drucker-Reflexiv-System FR512_95s... Daten für jede Farbe: Lab*a* und Lab*b*... Kontrastreduzierungsfaktor: c* = 0.19... Dreiecks-Helligkeit I*



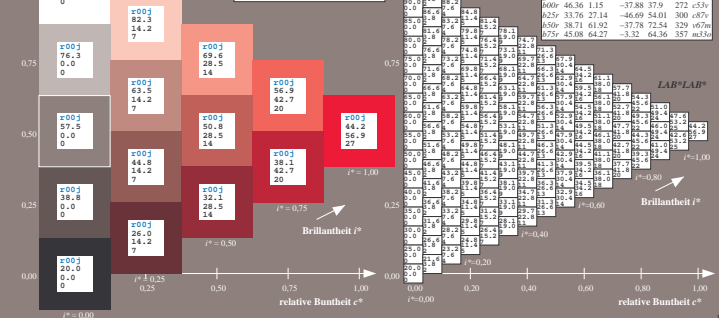
Ein und Ausgabe: Farbmetrisches Drucker-Reflexiv-System FR512_95s... Daten für jede Farbe: Lab*a* und Lab*b*... Kontrastreduzierungsfaktor: c* = 0.19... Dreiecks-Helligkeit I*



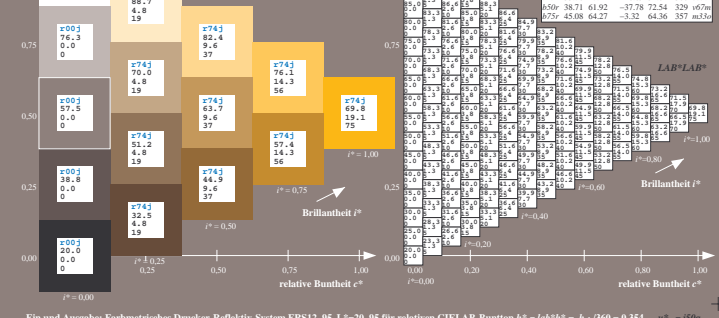
Ein und Ausgabe: Farbmetrisches Drucker-Reflexiv-System FR512_95s... Daten für jede Farbe: Lab*a* und Lab*b*... Kontrastreduzierungsfaktor: c* = 0.19... Dreiecks-Helligkeit I*



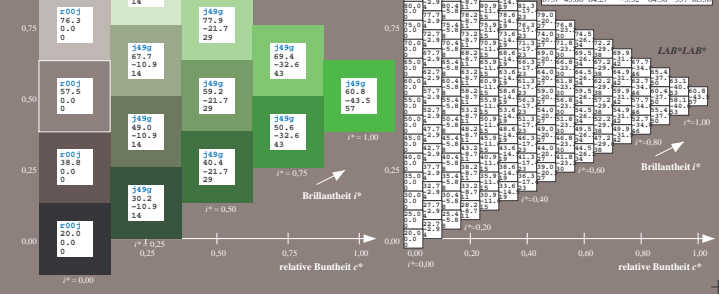
Ein und Ausgabe: Farbmetrisches Drucker-Reflexiv-System FR512_95s... Daten für jede Farbe: Lab*a* und Lab*b*... Kontrastreduzierungsfaktor: c* = 0.25... Dreiecks-Helligkeit I*



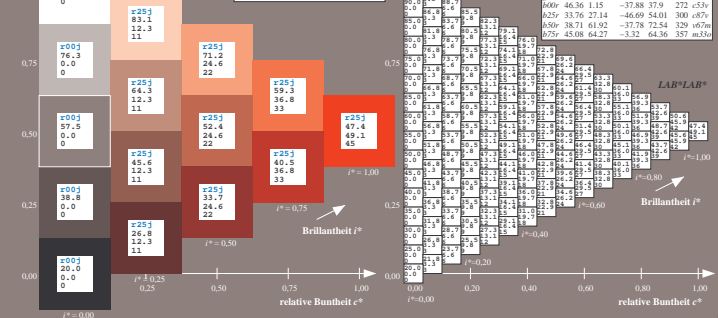
Ein und Ausgabe: Farbmetrisches Drucker-Reflexiv-System FR512_95s... Daten für jede Farbe: Lab*a* und Lab*b*... Kontrastreduzierungsfaktor: c* = 0.25... Dreiecks-Helligkeit I*



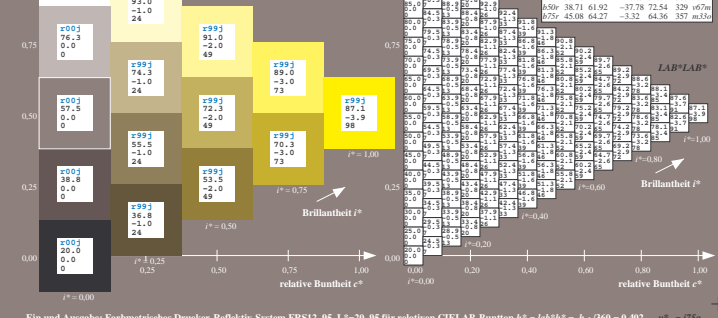
Ein und Ausgabe: Farbmetrisches Drucker-Reflexiv-System FR512_95s... Daten für jede Farbe: Lab*a* und Lab*b*... Kontrastreduzierungsfaktor: c* = 0.25... Dreiecks-Helligkeit I*



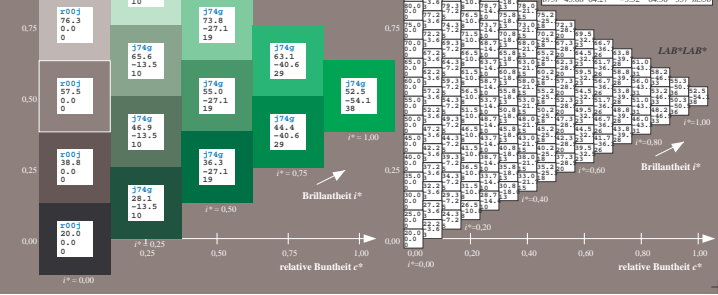
Ein und Ausgabe: Farbmetrisches Drucker-Reflexiv-System FR512_95s... Daten für jede Farbe: Lab*a* und Lab*b*... Kontrastreduzierungsfaktor: c* = 0.25... Dreiecks-Helligkeit I*



Ein und Ausgabe: Farbmetrisches Drucker-Reflexiv-System FR512_95s... Daten für jede Farbe: Lab*a* und Lab*b*... Kontrastreduzierungsfaktor: c* = 0.25... Dreiecks-Helligkeit I*



Ein und Ausgabe: Farbmetrisches Drucker-Reflexiv-System FR512_95s... Daten für jede Farbe: Lab*a* und Lab*b*... Kontrastreduzierungsfaktor: c* = 0.25... Dreiecks-Helligkeit I*



Ein und Ausgabe: Farbmetrisches Drucker-Reflexiv-System FRS12_95a

Daten für jede Farbe:

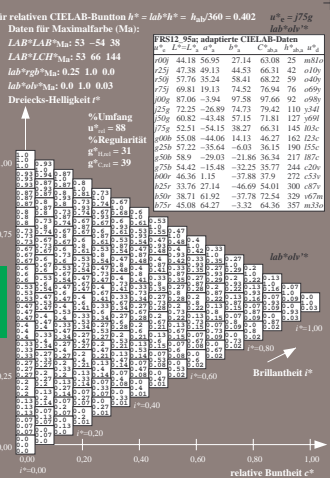
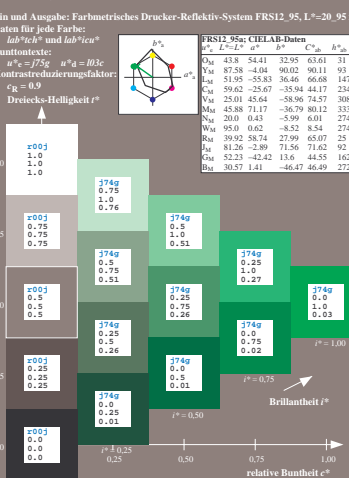
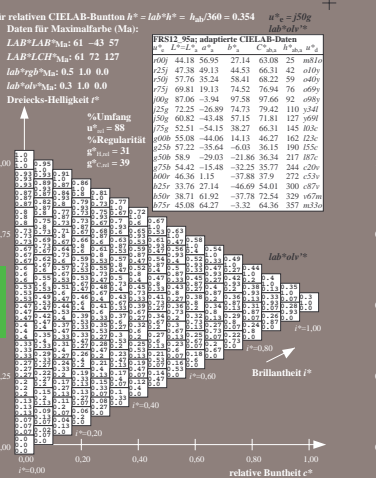
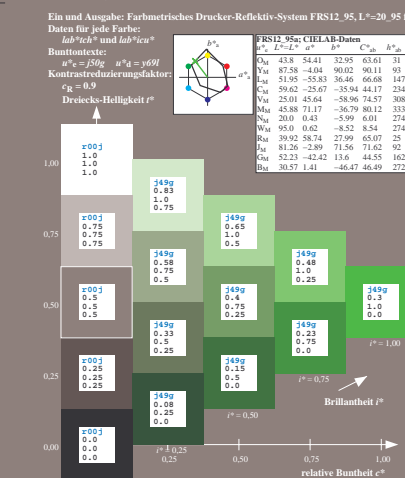
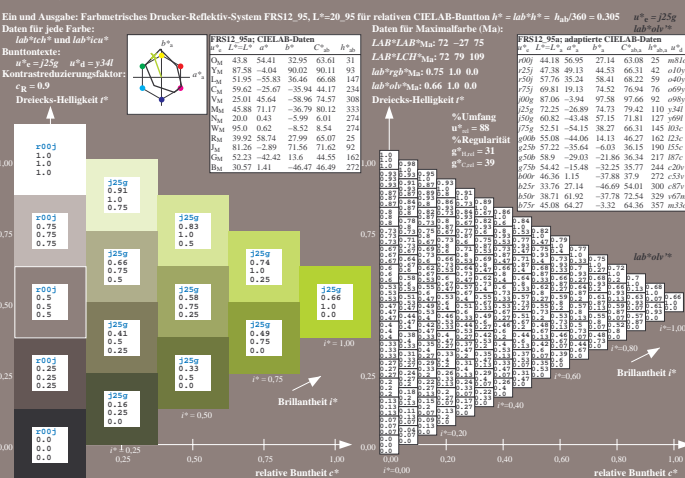
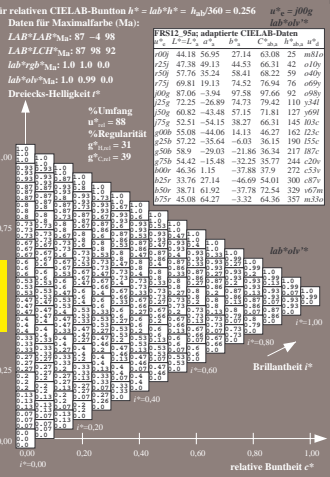
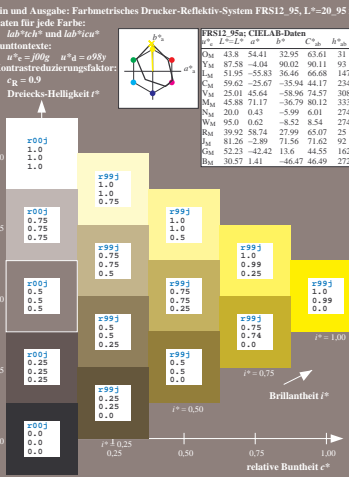
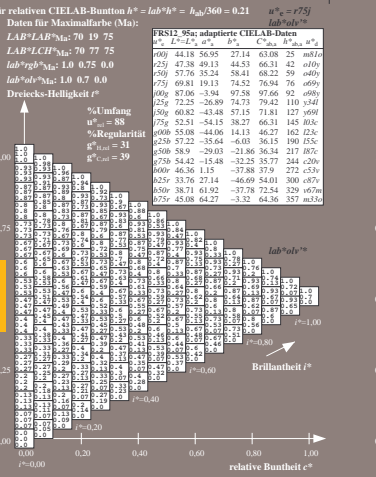
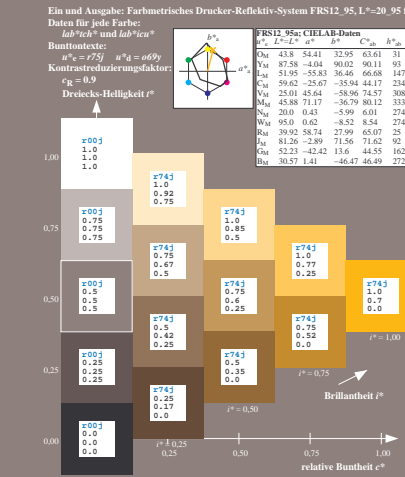
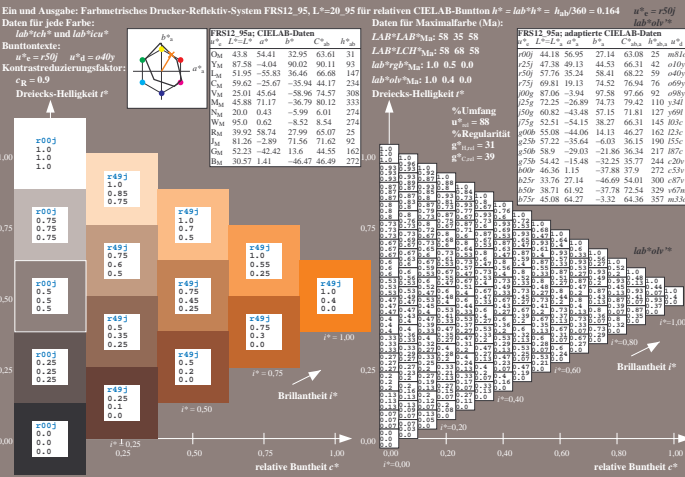
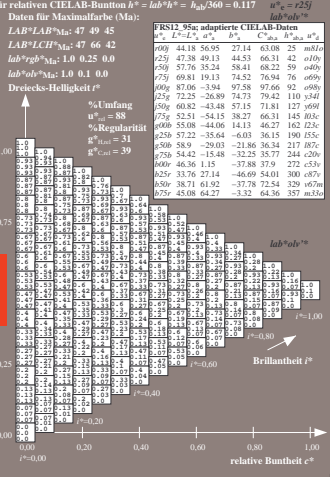
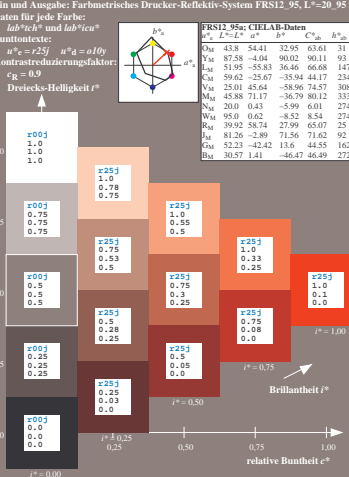
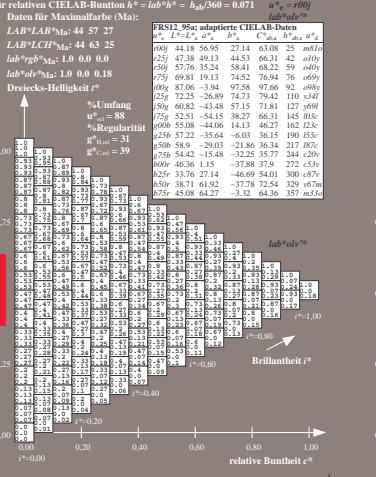
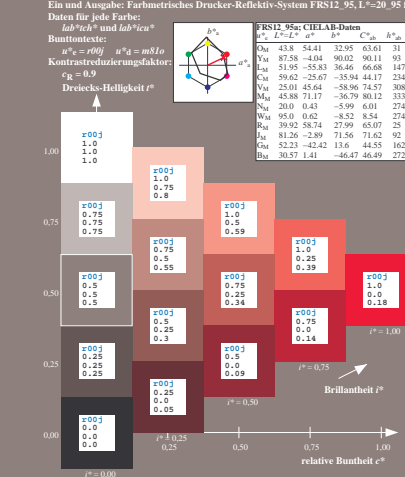
$u^* = 10$ und Nummer $N = 00 \dots 15$

Elementar-Bunttonste: $u^* = 16$ Bunttonste $u^* r00, r25j, \dots, b75r$

Kontrastreduzierfaktor: $u^* = 19$

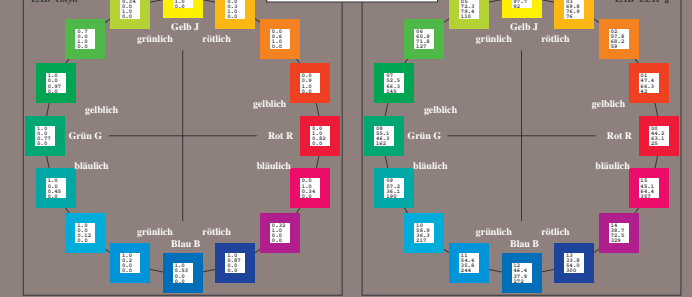
Dreiecks-Heiligkeit r^*

FRS12_95aC adaptierte CIELAB-Daten				FRS12_95aC CIELAB-Daten			
L^*	a^*	b^*	h^*	L^*	a^*	b^*	h^*
000	418	56,95	27,14	6308	25	ms10	
001	47,38	49,13	44,53	66,43	42	o109	
002	57,76	35,24	58,41	68,22	59	o409	
003	59,62	-25,67	-35,94	44,17	234		
004	87,06	-3,94	97,58	97,66	92	o699	
005	72,25	-26,89	74,73	79,42	110	y34l	
006	60,82	-43,48	57,15	71,81	127	o699	
007	52,51	-54,15	38,27	66,31	145	0k3c	
008	55,08	-44,06	14,13	46,27	162	2z2c	
009	52,92	-35,64	-6,03	36,15	190	055c	
010	58,59	-29,03	-21,86	36,34	217	87c	
011	59,62	-25,67	-35,94	44,17	234	069	
012	40,66	1,15	-37,88	37,9	272	c59n	
013	33,76	27,14	-46,69	54,01	300	o87c	
014	59,62	31,02	-37,78	72,54	329	o67a	
015	45,08	64,27	-3,32	64,36	357	m33c	



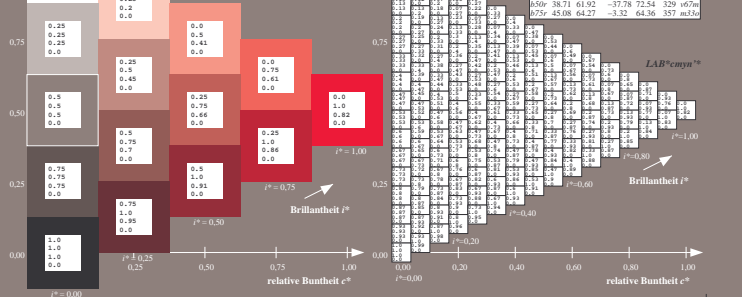
Ein und Ausgabe: Farbmetrisches Drucker-Reflexiv-System FRS12_95a
Daten für jede Farbe:
 $u^*_c = 0.75$ und $u^*_a = 0.15$
Elementar-Bunttonste: $u^*_c = 16$ Bunttonste $r00, r25, \dots, b75$
Kontrastreduzierungs-faktor: $c_s = 0.9$

FRS12_95a adaptierte CIELAB-Daten									
L^*	a^*	b^*	C_{ab}	h_{ab}	L^*	a^*	b^*	C_{ab}	h_{ab}
Ost	43.8	54.1	32.95	63.61	31				
Yst	87.58	-4.08	90.02	90.11	93				
Mst	51.95	-58.83	36.46	66.98	147				
Cst	59.62	-25.67	-35.94	44.17	234				
Bst	39.92	58.74	27.99	65.07	25				
Whi	25.01	45.64	-58.96	74.57	308				
Blw	50.0	0.62	-8.52	8.54	274				
Rot	39.92	58.74	27.99	65.07	25				
Grün	42.38	97.23	-35.64	-60.31	180				
Blau	50.89	-29.03	-21.86	36.34	217				
Blau	50.89	-29.03	-21.86	36.34	217				
Blau	50.89	-29.03	-21.86	36.34	217				
Blau	50.89	-29.03	-21.86	36.34	217				
Blau	50.89	-29.03	-21.86	36.34	217				
Blau	50.89	-29.03	-21.86	36.34	217				



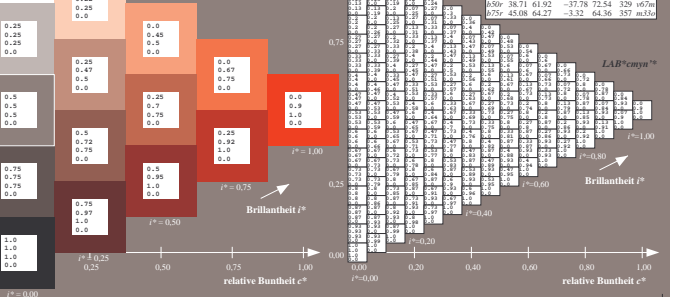
Ein und Ausgabe: Farbmetrisches Drucker-Reflexiv-System FRS12_95_L*20-95 für relativen CIELAB-Buntton $h^* = lab^*h^* = h_{ab}/360 = 0.071$ $u^*_c = r00$
Daten für jede Farbe:
 $u^*_c = r00$ und $u^*_a = m81.0$
Kontrastreduzierungs-faktor: $c_s = 0.9$

FRS12_95a adaptierte CIELAB-Daten									
L^*	a^*	b^*	C_{ab}	h_{ab}	L^*	a^*	b^*	C_{ab}	h_{ab}
Ost	43.8	54.1	32.95	63.61	31				
Yst	87.58	-4.08	90.02	90.11	93				
Mst	51.95	-58.83	36.46	66.98	147				
Cst	59.62	-25.67	-35.94	44.17	234				
Bst	39.92	58.74	27.99	65.07	25				
Whi	25.01	45.64	-58.96	74.57	308				
Blw	50.0	0.62	-8.52	8.54	274				
Rot	39.92	58.74	27.99	65.07	25				
Grün	42.38	97.23	-35.64	-60.31	180				
Blau	50.89	-29.03	-21.86	36.34	217				
Blau	50.89	-29.03	-21.86	36.34	217				
Blau	50.89	-29.03	-21.86	36.34	217				
Blau	50.89	-29.03	-21.86	36.34	217				
Blau	50.89	-29.03	-21.86	36.34	217				
Blau	50.89	-29.03	-21.86	36.34	217				



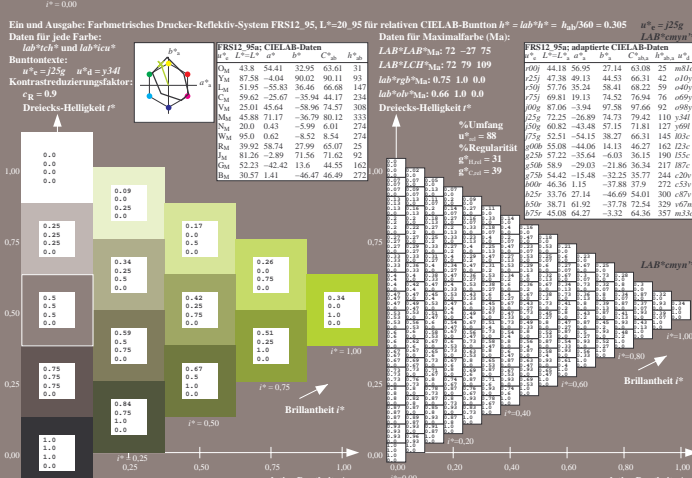
Ein und Ausgabe: Farbmetrisches Drucker-Reflexiv-System FRS12_95_L*20-95 für relativen CIELAB-Buntton $h^* = lab^*h^* = h_{ab}/360 = 0.117$ $u^*_c = r25$
Daten für jede Farbe:
 $u^*_c = r25$ und $u^*_a = o10.0$
Kontrastreduzierungs-faktor: $c_s = 0.5$

FRS12_95a adaptierte CIELAB-Daten									
L^*	a^*	b^*	C_{ab}	h_{ab}	L^*	a^*	b^*	C_{ab}	h_{ab}
Ost	43.8	54.1	32.95	63.61	31				
Yst	87.58	-4.08	90.02	90.11	93				
Mst	51.95	-58.83	36.46	66.98	147				
Cst	59.62	-25.67	-35.94	44.17	234				
Bst	39.92	58.74	27.99	65.07	25				
Whi	25.01	45.64	-58.96	74.57	308				
Blw	50.0	0.62	-8.52	8.54	274				
Rot	39.92	58.74	27.99	65.07	25				
Grün	42.38	97.23	-35.64	-60.31	180				
Blau	50.89	-29.03	-21.86	36.34	217				
Blau	50.89	-29.03	-21.86	36.34	217				
Blau	50.89	-29.03	-21.86	36.34	217				
Blau	50.89	-29.03	-21.86	36.34	217				
Blau	50.89	-29.03	-21.86	36.34	217				
Blau	50.89	-29.03	-21.86	36.34	217				



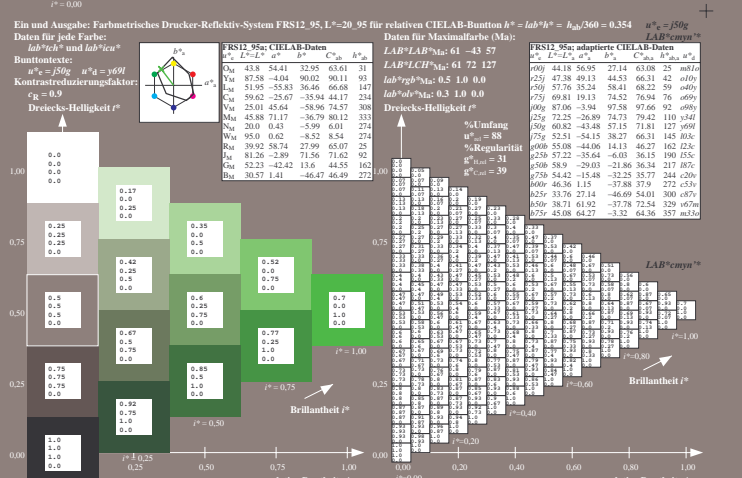
Ein und Ausgabe: Farbmetrisches Drucker-Reflexiv-System FRS12_95_L*20-95 für relativen CIELAB-Buntton $h^* = lab^*h^* = h_{ab}/360 = 0.164$ $u^*_c = r50$
Daten für jede Farbe:
 $u^*_c = r50$ und $u^*_a = o40.0$
Kontrastreduzierungs-faktor: $c_s = 0.9$

FRS12_95a adaptierte CIELAB-Daten									
L^*	a^*	b^*	C_{ab}	h_{ab}	L^*	a^*	b^*	C_{ab}	h_{ab}
Ost	43.8	54.1	32.95	63.61	31				
Yst	87.58	-4.08	90.02	90.11	93				
Mst	51.95	-58.83	36.46	66.98	147				
Cst	59.62	-25.67	-35.94	44.17	234				
Bst	39.92	58.74	27.99	65.07	25				
Whi	25.01	45.64	-58.96	74.57	308				
Blw	50.0	0.62	-8.52	8.54	274				
Rot	39.92	58.74	27.99	65.07	25				
Grün	42.38	97.23	-35.64	-60.31	180				
Blau	50.89	-29.03	-21.86	36.34	217				
Blau	50.89	-29.03	-21.86	36.34	217				
Blau	50.89	-29.03	-21.86	36.34	217				
Blau	50.89	-29.03	-21.86	36.34	217				
Blau	50.89	-29.03	-21.86	36.34	217				
Blau	50.89	-29.03	-21.86	36.34	217				



Ein und Ausgabe: Farbmetrisches Drucker-Reflexiv-System FRS12_95_L*20-95 für relativen CIELAB-Buntton $h^* = lab^*h^* = h_{ab}/360 = 0.21$ $u^*_c = r75$
Daten für jede Farbe:
 $u^*_c = r75$ und $u^*_a = o60.0$
Kontrastreduzierungs-faktor: $c_s = 0.9$

FRS12_95a adaptierte CIELAB-Daten									
L^*	a^*	b^*	C_{ab}	h_{ab}	L^*	a^*	b^*	C_{ab}	h_{ab}
Ost	43.8	54.1	32.95	63.61	31				
Yst	87.58	-4.08	90.02	90.11	93				
Mst	51.95	-58.83	36.46	66.98	147				
Cst	59.62	-25.67	-35.94	44.17	234				
Bst	39.92	58.74	27.99	65.07	25				
Whi	25.01	45.64	-58.96	74.57	308				
Blw	50.0	0.62	-8.52	8.54	274				
Rot	39.92	58.74	27.99	65.07	25				
Grün	42.38	97.23	-35.64	-60.31	180				
Blau	50.89	-29.03	-21.86	36.34	217				
Blau	50.89	-29.03	-21.86	36.34	217				
Blau	50.89	-29.03	-21.86	36.34	217				
Blau	50.89	-29.03	-21.86	36.34	217				
Blau	50.89	-29.03	-21.86	36.34	217				
Blau	50.89	-29.03	-21.86	36.34	217				



Ein und Ausgabe: Farbmetrisches Drucker-Reflexiv-System FRS12_95_L*20-95 für relativen CIELAB-Buntton $h^* = lab^*h^* = h_{ab}/360 = 0.256$ $u^*_c = r100$
Daten für jede Farbe:
 $u^*_c = r100$ und $u^*_a = o80.0$
Kontrastreduzierungs-faktor: $c_s = 0.5$

FRS12_95a adaptierte CIELAB-Daten									
L^*	a^*	b^*	C_{ab}	h_{ab}	L^*	a^*	b^*	C_{ab}	h_{ab}
Ost	43.8	54.1	32.95	63.61	31				
Yst	87.58	-4.08	90.02	90.11	93				
Mst	51.95	-58.83	36.46	66.98	147				
Cst	59.62	-25.67	-35.94	44.17	234				
Bst	39.92	58.74	27.99	65.07	25				
Whi	25.01	45.64	-58.96	74.57	308				
Blw	50.0	0.62	-8.52	8.54	274				
Rot	39.92	58.74	27.99	65.07	25				
Grün	42.38	97.23	-35.64	-60.31	180				
Blau	50.89	-29.03	-21.86	36.34	217				
Blau	50.89	-29.03	-21.86	36.34	217				
Blau	50.89	-29.03	-21.86	36.34	217				
Blau	50.89	-29.03	-21.86	36.34	217				
Blau	50.89	-29.03	-21.86	36.34	217				
Blau	50.89	-29.03	-21.86	36.34	217				

